

Curs 7

6.1.5. Analiza cinematica a TSPB

- **Miscarea bilei**

Pentru efectuarea analizei teoretice asupra cinematicii si dinamicii **TSPB** se introduc sase *sisteme de coordinate* fata de care se studiaza miscarea celor trei elemente constructive - surubul, bilele si piulita - si comportarea contactului lor (fig. 1):

- doua sisteme *legate de surub*:

(1) sistemul de coordonate *inertial* - $Ox'y'z'$ - in care: axa z' coincide cu axa surubului, (xOy) este planul sectiunii transversale, iar versorii axelor formeaza matricea $\mathbf{X}' = [i' \ j' \ k']^T$;

(2) sistemul de coordonate *rotitor* (se roteste cu aceeasi viteza unghiulara ω ca surubul) - $Oxyz$ - in care: z este axa surubului, (xOy) determina planul sectiunii transversale, Ω desemneaza deplasarea unghiulara fata de sistemul inertial, iar versorii axelor formeaza matricea $\mathbf{X} = [i \ j \ k]^T$;

- doua sisteme *legate de bila*:

(3) sistemul de coordonate *Frenet* - $O'tnb$ - aplicat in centrul bilei care se deplaseaza de-a lungul traectoriei elicoidale;

(4) sistemul de coordonate *de spin* - $O'uvw$ - in care axa u coincide cu axa miscarii de spin a unei bile;

- doua sisteme *legate de contactele* cu caile de rulare, localizarea punctelor de contact S , respectiv P in plan normal fiind reprezentata in fig. 2:

(5) *bila-surub* - sistemul de coordonate $Sx_Sy_Sz_S$ - cu (x_Sy_S) planul elipsei interioare de contact si axa z_s dupa normala comuna la cele doua corpuri in contact orientata dinspre bila spre surub;

(6) *bila-piulita* - sistemul de coordonate $Px_py_pz_p$ - cu (x_py_p) formand planul elipsei exterioare de contact si axa z_p dupa normala comuna la cele doua corpuri in contact orientata dinspre piulita spre bila.

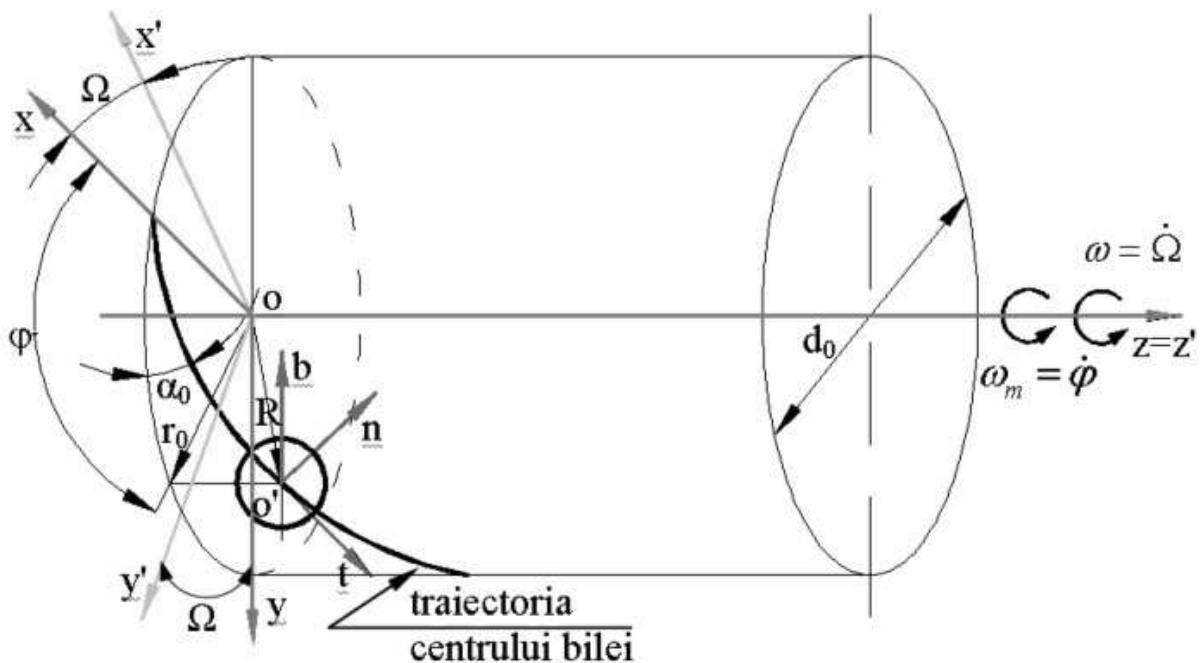


Fig. 1

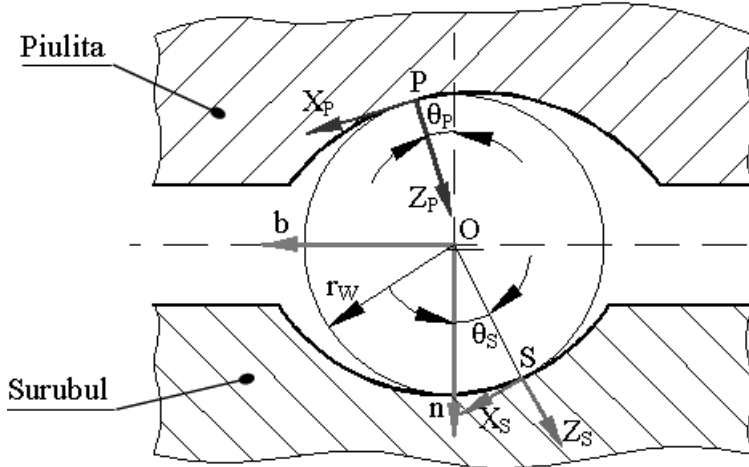


Fig. 2

Stabilirea pozitiei punctelor de contact intre piulita si bila, respectiv bila si surub, se realizeaza cu ajutorul unghiului de contact θ definit intre vectorul normal unitar si vectorul de contact (orientat dinspre centrul bilei catre punctul de contact) ca in fig. 2, din care se observa ca in timpul functionarii TSPB unghiul $\theta_S > \theta_P$.

Presupunand ca punctele de contact nu se afla in planul normal central, deoarece bilele sunt sferice, sunt necesare numai doua unghiuri pentru definirea pozitiei punctului de contact pe o bila: β_W si Ψ din planul normal central. Exemplificand pentru punctul de contact S cu surubul, vectorul de pozitie poate fi exprimat din geometrie ca:

$$\mathbf{R}_{SO} = [-r_W \cdot S_\Psi \quad r_W \cdot C_\Psi C_{\theta_s} \quad r_W \cdot C_\Psi S_{\theta_s}] \cdot \mathbf{Y} \quad (1)$$

Se obtine **viteza de alunecare** a punctului de contact cu surubul \mathbf{V}_{as} , care daca se introduce in conditia de contact, rezulta egalitatea:

$$\mathbf{R}_{SO} \cdot \mathbf{V}_{as} = -r_W \cdot d \cdot \dot{\phi} \cdot S_\Psi = 0 \quad (2)$$

care este indeplinita numai cand unghiul de echilibrare Ψ este zero, cu alte cuvinte toate punctele de contact trebuie sa se afle in planul normal.

Se considera descompunerea vitezei de alunecare in doua componente: una in planul normal central si cealalta in lungul directiei tangentiale a sistemului de coordonate Frenet a traectoriei centrului bilei.

Studii mai recente (Lin, s.a. 1994) au stabilit cele trei *componente ale vitezelor unghiulare ale centrului bili* in functie de unghurile β si β' ale miscarii giroscopice prin urmatoarele relatiile:

$$\omega_t = \omega_s \cdot \cos \beta \cdot \sin \beta' \quad (3)$$

$$\omega_b = -\omega_s \cdot \cos \beta \cdot \cos \beta' \quad (4)$$

$$\omega_n = -\omega_s \cdot \sin \beta \quad (5)$$

in care ω_s este viteza unghiulara de spin a unei bile.

Alunecarea are loc pe cele doua arii de contact ale unei bile in sistemul TSPB, redata in fig. 3.

In punctul de contact dintre bila si surub apar *componentele vitezelor liniare* in directiile axelor b si n descrise de relatiile:

$$- \text{pentru surub:} \quad V_{ab} = -\omega \cdot r_W \cdot \sin \theta_S \cdot \sin \alpha_0 \quad (6)$$

$$V_{an} = -\omega(r_0 - r_W \cdot \cos \theta_S) \sin \alpha_0 \quad (7)$$

$$- \text{pentru bila:} \quad V_{Wb} = -r_W \cdot \omega_t \cdot \sin \theta_S \quad (8)$$

$$V_{Wn} = -r_0 \cdot \omega \cdot \sin \alpha_0 + r_W \cdot \omega_t \cdot \cos \theta_S \quad (9)$$

Deoarece, in aplicatiile practice surubul este elementul conductor si bila este condusa, componenta vitezei create pe surub este, teoretic, mai mare dacat cea creata pe bila in ambele directii b , n daca exista o alunecare intre aceste doua suprafete. Astfel:

$$V_{ab} > V_{Wb}; \quad V_{an} > V_{Wn} \quad (10)$$

Simplificand termenii care apar inlocuind relatiile (6) si (7) in cele doua inegalitati (10) se obtine:

$$\omega \cdot \sin \alpha_0 > \omega_t \quad (11)$$

pentru cazul cand se ia in considerare alunecarea valoarea lui ω_t este aparent mai mica decat cea din cazul cand se presupune ca nu exista alunecare (conditia: $\omega_t = \omega \cdot \sin \alpha_0$).

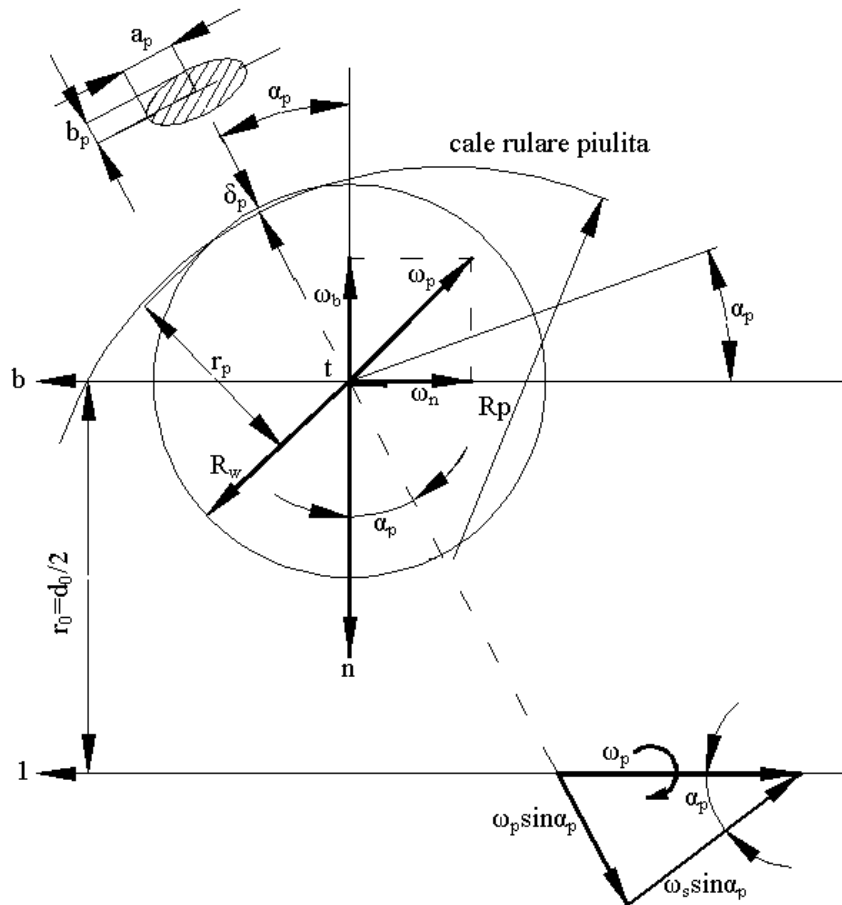


Fig. 3

Similar exista un punct pe aria de contact formata intre bila si surub ca in fig. 4, in care exista rostogolire pura, rezultanta vitezelor unghiulare a surubului rotitor fata de bila fiind ω_s .

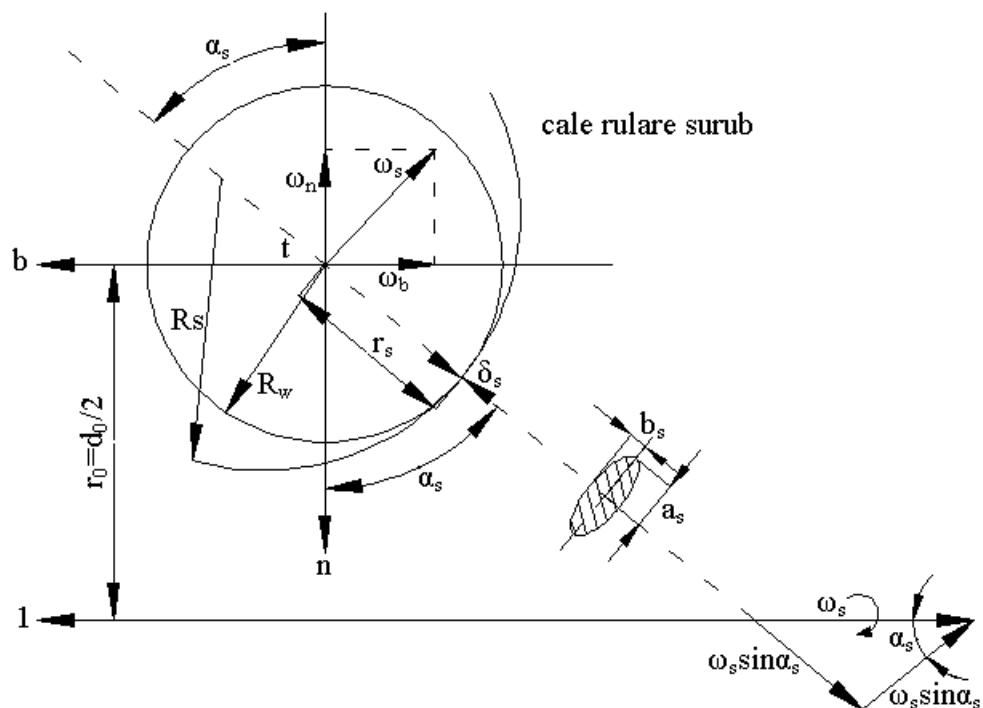


Fig. 4

6.1.6. Forțe și momente în cupla elicoidală cu rostogolire

Studiul dinamicii transmisiei șurub-piuliță cu bile se realizează utilizând aceleași sisteme de coordonate atașate mișcării elementelor constructive ca în cazul analizei cinematice (fig. 1 și 2).

• Distribuția forțelor în cupla elicoidală cu rostogolire

În cazul cel mai frecvent de funcționare, transmisia șurub-piuliță cu bile este solicitată de o *forță exterioară* axială F care se transmite între elementele constructive ale cuplei elicoidale cu rostogolire prin contactele punctiforme multiple dintre corpurile și căile de rulare care au suprafete spațiale complexe. Fig. 6.16 reprezintă disponerea forței normale F_n într-un punct de contact oarecare între corpul de rostogolire și calea de rulare de pe suprafața șurubului, orientată pe direcția liniei de contact între elementele constructive ale cuplei elicoidale definită prin unghiul de contact liber θ . Această forță, care se transmite între șurub și piuliță prin intermediul bilelor de diametru D_W , se descompune în trei componente care formează un triunghi drept:

- **forță axială** F_a - orientată pe direcția normalei la spira filetelui;
- **forță tangențială** F_t - orientată pe direcția spirei filetelui;
- **forță radială** F_r - orientată pe direcția razei față de axa de rotație a cuplei elicoidale.

Teoretic, la transmisia elicoidală cu rostogolire nepretensionată se consideră că sarcina exterioară se repartizează uniform pe cele z_c contacte (bile de calcul) și la rotația șurubului bilele se rotesc cu aceeași viteză unghiulară, ceea ce permite determinarea componentelor forței care solicită elementele constructive impunând condițiile de echilibru static.

La transmisia șurub-piuliță cu profil semicircular cu contact în două puncte se obțin relațiile de calcul ale forțelor:

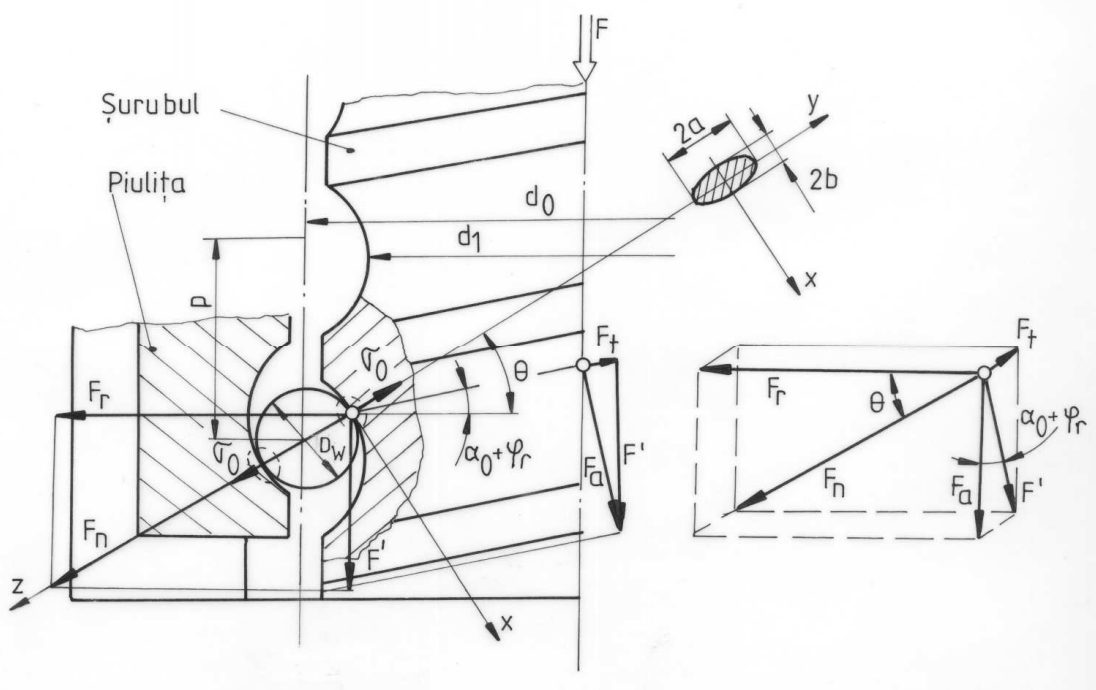


Fig. 5 Distribuția forțelor în TSPB

$$F_a = F / z_c \quad (12 \text{ a})$$

$$F_t = F_a \cdot \tan(\alpha_0 + \varphi_r) \quad (12 \text{ b})$$

$$F_r = \frac{F'}{\tan \theta} = \frac{F_a}{\cos(\alpha_0 + \varphi_r) \cdot \tan \theta} \quad (12 \text{ c})$$

$$F_n = \frac{F'}{\sin \theta} = \frac{F_a}{\cos(\alpha_0 + \varphi_r) \cdot \sin \theta} \quad (12 \text{ d})$$

în care: φ_r este *unghiul de frecare de rostogolire* (prin care se iau în considerare și pierderile de putere datorate fenomenului de frecare dintre corpurile de rostogolire și căile de rulare în cupla elicoidală) se stabilește cu relația:

$$\varphi_r = \arctg \left(\frac{\mu_r}{r_W \cdot \sin \theta} \right) \quad (13)$$

unde: μ_r este coeficientul de frecare de rostogolire, cu valori determinate experimental: **0,008...0,01** mm (pentru bile din oțel călit care se rostogolesc pe căi de rulare cu rugozitatea medie de 0,2 μm) sau **0,05...0,08** mm (dacă bilele rulează pe suprafețe din oțel necălit).

Se observă ca unghiul de frecare este dependent de diametrul bilei ($r_W = D_W / 2$) și de unghiul de contact θ . La transmisiiile fără pretensionare unghiul de frecare are valori foarte mici, astfel încât condiția de autofrânare $\varphi_r \geq \alpha_0$ nu este îndeplinită.

Sub acțiunea forței normale F_n , bilele și căile de rulare ale șurubului și piuliței sunt supuse unei solicitări de contact punctual care determină o stare de tensiuni spațială, pusă în evidență de teoria contactului elastic între suprafețe de către H. Hertz (1881). Deoarece **domeniul real de contact**, interior (bilă-șurub) și exterior (bilă-piuliță), are forma unei *elipse cu semiaxele a și b*, **tensiunea** repartizată elipsoidal cu valoare **maximă** σ_0 în centrul elipsei de contact și **deformația** δ pe direcția normalei în punctul de contact se pot determina prin calcul folosind relațiile obținute prin particularizarea soluției lui Hertz pentru tensiunea locală și deformația corpuriilor aflate în contact elastic, având următoarele expresii:

$$\sigma_0 = \left[1.32 - 3.49 \cdot \frac{(R - r_W)(r_0 - r_W C_\theta)}{R \cdot r_0} \right]^2 \cdot \left[F_n \cdot E'^2 \cdot \left(\frac{R - r}{R \cdot r} \right)^2 \right]^{1/3} = \sigma^* \cdot \left[F_n \cdot (E' \cdot \sum \rho)^2 \right]^{1/3} \quad (14 \text{ a})$$

$$a = \left[1.32 - 0.98 \cdot \frac{(R - r) \cdot (r_0 - r \cdot \cos \theta)}{R \cdot r_0} \right]^2 \cdot \left[\frac{F_n}{E'} \cdot \left(\frac{R \cdot r}{R - r} \right) \right]^{1/3} = a^* \cdot \left[\frac{F_n}{E' \cdot \sum \rho} \right]^{1/3} \quad (14 \text{ b})$$

$$\delta = \left[1.41 - 1.71 \cdot \frac{(R - r) \cdot (r_0 - r \cdot \cos \theta)}{R \cdot r_0} \right]^2 \cdot \left[\left(\frac{F_n}{E'} \right)^2 \cdot \frac{R - r}{R \cdot r} \right]^{1/3} = \delta^* \cdot \left[\left(\frac{F_n}{E'} \right)^2 \cdot \sum \rho \right]^{1/3} \quad (14 \text{ c})$$

în care: E' reprezintă modulul de elasticitate echivalent, dat de relația:

$$\frac{2}{E'} = \frac{1 - \nu_1^2}{E_1} + \frac{1 - \nu_2^2}{E_2} \quad (15)$$

unde: ν_1, ν_2 - coeficienții Poisson; E_1, E_2 - modulele de elasticitate longitudinale pentru materialele suprafețelor;

$\sum \rho$ - suma curburilor suprafețelor în punctul de contact (bilă-cale de rulare) :

$$\sum \rho = \rho_1 + \rho_2 = \frac{1}{r} - \frac{1}{R} = \frac{R - r}{R \cdot r} \quad (16)$$

6.1.7. Randamentul transmisiei surub-piulita cu bile

Se utilizează mai multe metode de calcul al randamentului cuplei elicoidale.

• **Metoda simplificată** constă în determinarea randamentului numai în funcție de miscarea elementelor constructive ale transmisiei :

- **surub conductor cu miscare de rotatie - piulita de translatie**

(TSPB transformă momentul de torsion în forță liniară):

$$\eta_1 = \frac{\operatorname{tg} \alpha_0}{\operatorname{tg} (\alpha_0 + \varphi_r)} \quad (17)$$

- **piulita conducatoare cu miscare de translatie - surub de rotatie (TSPB)** transforma forta in moment de torsiune):

$$\eta_2 = \frac{\operatorname{tg}(\alpha_0 - \varphi_r)}{\operatorname{tg} \alpha_0} \quad (18)$$

• **Metoda cvasistatica** - evaluarea randamentului **TSPB** se face neglijand fortele dinamice cu considerarea numai a rezistentei la rostogolire in punctele de contact bila-surub si bila-piulita, fara alunecare intre elemente si fara deformatii elastice.

In acest caz, unghiul de frecare φ_r este folosit pentru a reprezenta energia disipata datorita frecarii de rostogolire intre suprafetele in contact cu un coeficient μ_r , si poate fi exprimat in functie de unghurile de contact ($\theta_S = \theta_P = \theta$) si raza bilei r_W .

- **surub conducator:**

$$\eta_1 = 1 - \frac{\mu \cdot a + \operatorname{tg} \varphi_r / (\cos \alpha_0 \cdot \sin \alpha_0)}{\sin \theta + \mu(a - \cos \theta) + \operatorname{tg} \varphi_r / \operatorname{tg} \alpha_0} \quad (19)$$

- **piulita conducatoare:**

$$\eta_2 = 1 - \frac{\mu(a - 2 \cos \theta) + \operatorname{tg} \varphi_r / (\cos \alpha_0 \cdot \sin \alpha_0)}{\sin \theta + \mu(a + \cos \theta) + \operatorname{tg} \varphi_r / \operatorname{tg} \alpha_0} \quad (20)$$

in care: μ - coeficientul Coulomb de frecare in punctele de contact;

$$a = r_W / r_0 .$$

• **Metoda exacta** - considera sarcinile dinamice (prin dependenta de timp a momentului de intrare), o cinematica corespunzatoare caracterizata prin aparitia alunecarii in cel putin un punct de contact intre elementele constructive ale **TSPB**, tensiunile si deformatiile elastice de contact pentru fiecare din cele doua cazuri (a, b).

Definirea randamentului se face prin raportul:

$$\eta = \frac{M_{iesire}}{M_{intrare}} \quad (21)$$

- **Transformarea miscarii de rotatie in translatie**

Considerand starea de regim permanent pentru miscarea bilei, se scriu ecuatiile Newton-Euler pentru miscarea centrului bilei fata de cele trei sisteme de coordonate stabilite la cinematica **TSPB** - $Ox'y'z'$, $Oxyz$ si $O'tnb$ (vezi fig. 1). Impunand stabilirea echilibrului static pe surub si piulita se obtin urmatoarele expresii care pot fi folosite pentru a lega momentul de torsiune aplicat surubului (sau piulitei) de sarcina axiala care actioneaza asupra piulitei (sau surubului):

$$\begin{aligned} M &= (^r \mathbf{R}_i \times \mathbf{F}_i + ^r \mathbf{R}_{i'} \times \mathbf{F}_{i'}) \cdot \mathbf{k} \\ &= (\mathbf{F}_i + \mathbf{F}_{i'}) \cdot \mathbf{k} \end{aligned} \quad (22)$$

unde: $^r \mathbf{R}_i$ - vectorul de pozitie al punctului i fata de sistemul cartezian de coordonate rotitor odata cu surubul (sau piulita);

\mathbf{F}_i - vectorul forta aplicata pe bila in punctul de contact i .

$$\eta = \frac{\sin \theta - \mu(\cos \theta \cos \psi_P + \sin \psi_P \operatorname{tg} \alpha_0)}{\sin \theta + \mu[\cos \psi_S(a - \cos \theta) + \sin \psi_S(1 - a \cos \theta) / \operatorname{tg} \alpha_0]} \quad (23)$$

- Transformarea miscarii din translatie in rotatie

Folosind o procedura similara ca cea de mai sus, se obtine randamentul cu relatia:

$$\eta = 1 - \frac{\mu}{\cos^2 \alpha_0 \left[\sin \theta \sqrt{\cos^2 \theta + \tan^2 \alpha_0} + \mu (\cos^2 \theta + \tan^2 \alpha_0) \right]} \quad (24)$$

din care este usor sa se dezvolte relatii intre randament si unghiul de contact si unghiul elicei.

Variatia randamentului unei TSPB este reprezentata in fig. 6, 7, 8, 9, 10, 11 in cazul modelului evasistatic si a celui imbunatatit.

Factori de influență asupra randamentului TSPB

- **Viteza de rotație a șurubului** - influențează randamentul stabilit cu ambele modele de calcul, în sensul scăderii acestuia odată cu creșterea vitezei ca în fig. 6.
- **Forța axială F_a aplicată piuliței** - cu valori crescătoare poate induce valori mai mari pentru ambele momente de ieșire și de intrare ce reprezintă număratorul, respectiv numitorul relației (21) a unei **TSPB**. Deoarece măsura creșterii liniare a momentului de ieșire este evident mai mare decât momentul de intrare, creșterea sarcinii aplicate piuliței poate determina creșterea valorii randamentului (fig. 6).

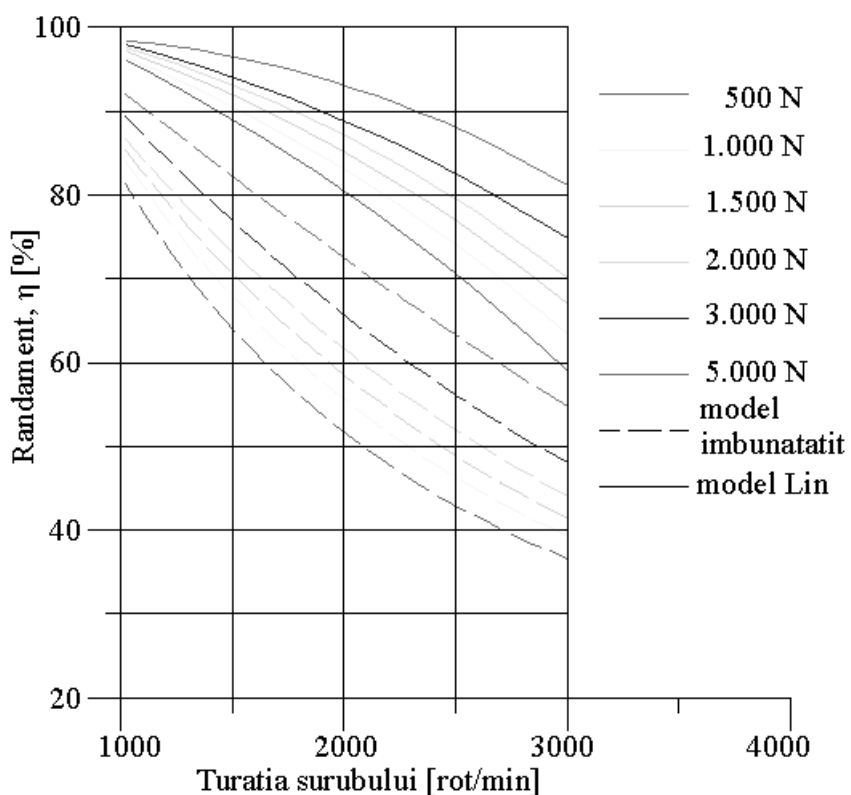


Fig. 6

• Unghiul de alunecare în punctul de contact șurub-bilă ψ_S

În fig. 8 este reprezentată variația randamentului ținând seama de unghiul de alunecare în punctul de contact șurub-bilă ψ_S folosind următoarele valori pentru parametri: $a = 0.1$ și $\alpha_0 = 10^0$. Curba arată că frecarea în lungul direcției tangențiale disipa mai multă energie decât cea din planul normal, altfel spus componenta forței de frecare în direcție tangențială joacă un rol mai important - din punctul de vedere al randamentului - decât componenta din plan normal. Astfel, limitele mai ridicată și mai coborâtă ale randamentului η sunt la $\psi_S = 0^0$ (plan normal), respectiv $\psi_S = 90^0$ (direcția tangențială).

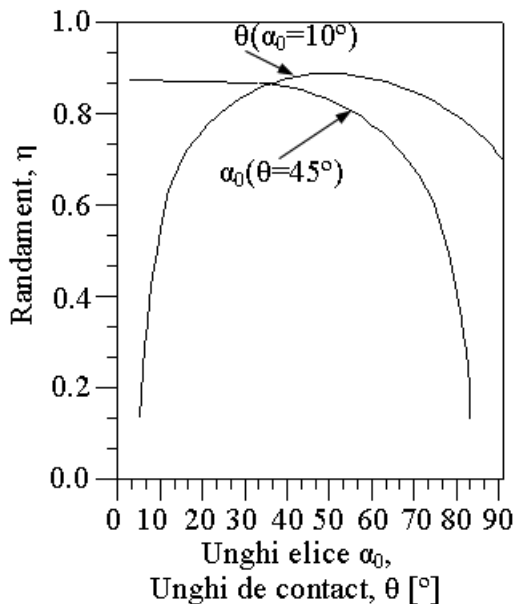


Fig. 7

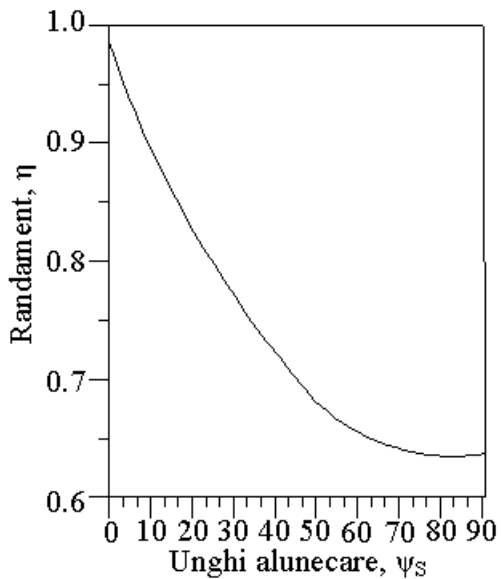


Fig. 8

De asemenea, presupunând că o forță axială $F_a = 2113$ N se opune mișcării piuliței, în fig. 9 este reprezentarea sarcinilor normale ca o funcție de unghiul de contact.

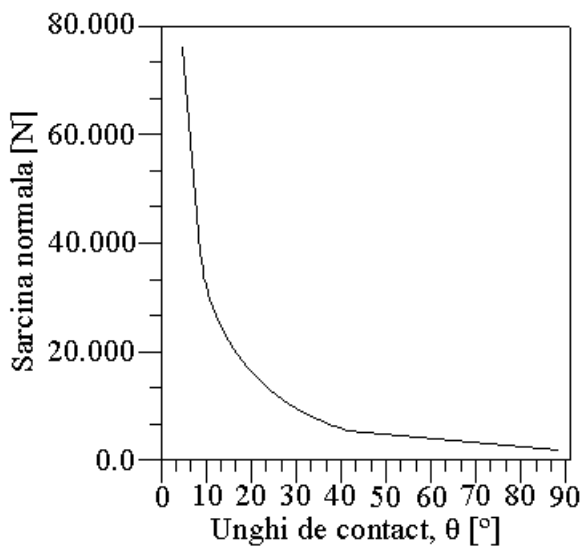


Fig. 9

- **Unghiul de infășurare a elicei α_0** pe suprafața surubului - fig. 10 - după modelul Lin [] - influențează puțin, deoarece valoarea $\cos \alpha_0$ de la numitorul ecuației (23) este foarte apropiată de 1, chiar dacă $\alpha_0 > 10^\circ$, randamentul **TSPB** este aproape independent de mărimea unghiului elicei (reprezentarea cu linii continue);

-după modelul îmbunătățit (2003) - randamentul crește semnificativ prin creșterea unghiului elicei surubului cu bile (curbele trasate cu linie punctată).

- **Unghiul de contact θ** - format pentru diferite condiții de funcționare și unghiuri ale elicei surubului sunt arătate în fig. 11. La creșterea ușoară a unghiului elicei va crește unghiul de contact format cu surubul și scade ușor unghiul de contact format cu piuliță.

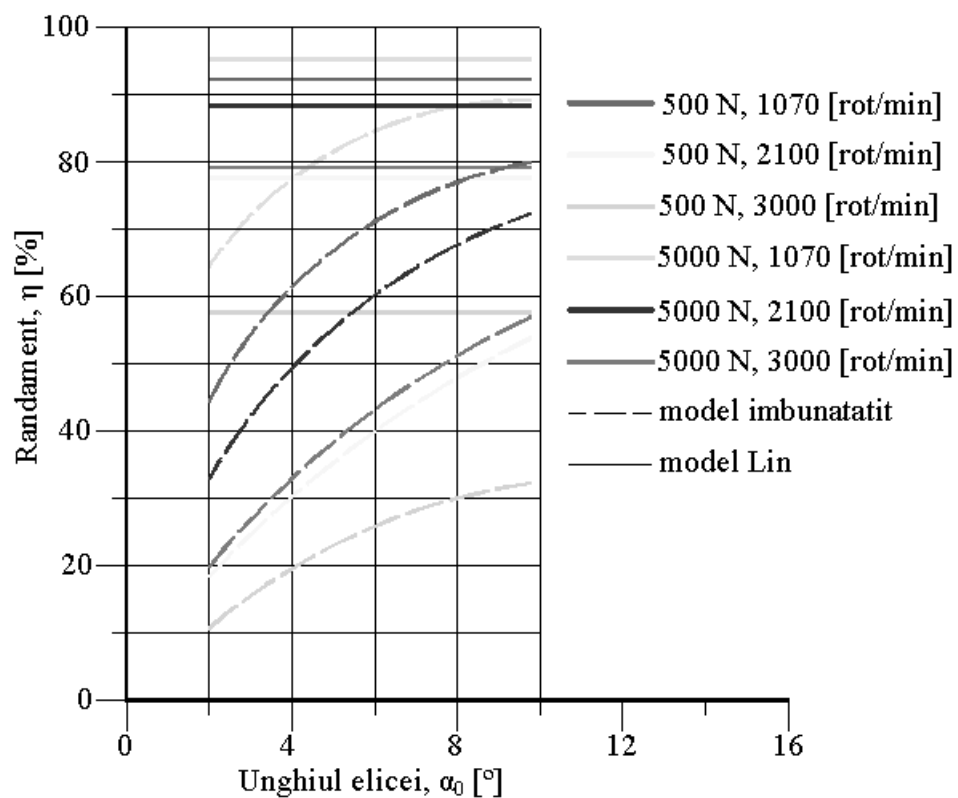


Fig. 10

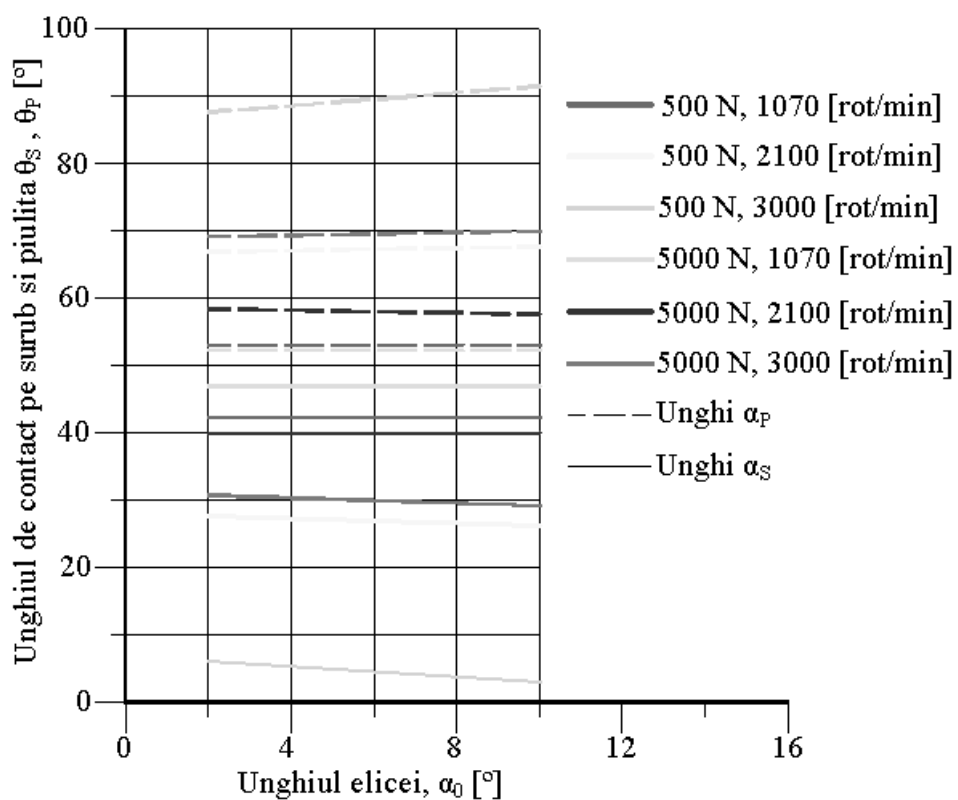


Fig. 11

Randamentul **TSPB**, evaluat pe baza celor două modele de calcul, este complet diferit, în special pentru funcționarea la viteze mari de rotație a șurubului, datorită unor simplificări și ipoteze făcute în studiul teoretic realizat de Lin

6.1.8. Reglarea jocurilor și pretensionarea TSPB

Jocul axial S_a este valoarea deplasării axiale totale între corpul piuliței și arborele filetat, iar **jocul radial** S_r este valoarea deplasării radiale între bilă-piuliță și bilă-șurub, reprezentate în fig. 12.

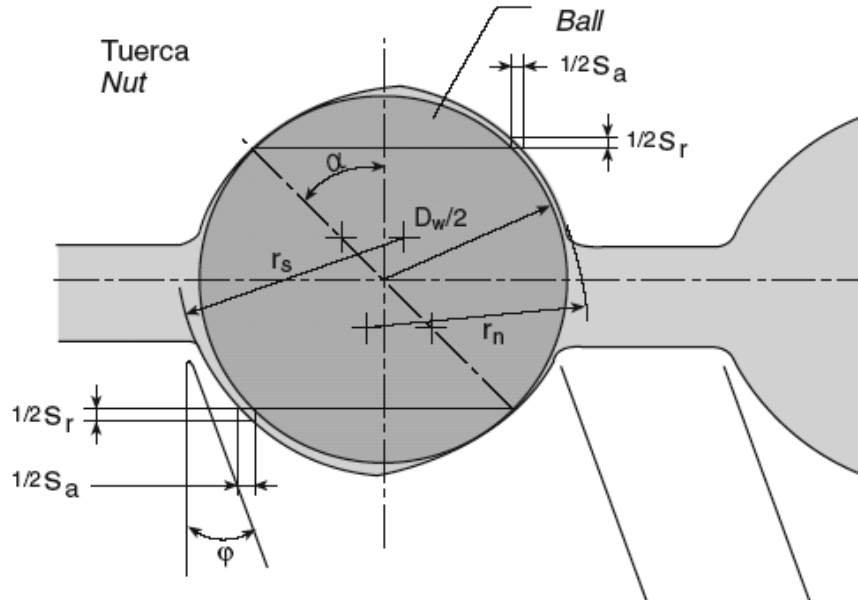


Fig.12 Jocul axial si radial in TSPB

TSPB sunt în mod normal pretensionate în scopul eliminării jocului axial, creșterii rigidității globale a sistemului bilă-piuliță și pentru îmbunătățirea preciziei de poziționare. Pretensionarea trebuie făcută cu grijă, deoarece dacă este prea mare poate duce la o creștere a momentului condus al sistemului, care ar însemna o reducere a durabilității în funcționare și o creștere a temperaturii.

Datorita abaterilor de execuție, de montaj și celor aparute în funcționare, în cuplile elicoidale cu rostogolire pot apărea jocuri axiale și radiale, determinate de uzarea elementelor constructive componente, care în timpul exploatarii se maresc și conduc la scaderea preciziei și funcționarea necorespunzătoare a transmisiei surub-piulita cu bile.

De obicei **jocurile radiale** sunt preluate de cupla de translație atașată piuliței (ex. ghidajul).

Condiția de realizare a abaterii maxime admisibile Δl_{max} la parcurgerea cursei l este data de relația:

$$\sum \frac{\Delta p}{l} + j_a \leq \frac{\Delta l_{max}}{l} \quad (25)$$

în care: $\sum \Delta p/l$ - eroarea cumulată de pas pe lungimea l ;

j_a - jocul axial din cupla elicoidală, specificat în catalogele firmelor producătoare pentru transmisiile de uz general, tipizate și fără reglare.

Transmisia surub-piulita cu bile nu poate fi realizată pentru asigurarea eliminării complete a jocurilor. Pentru obținerea unor jocuri minime la inversarea sensului miscării și rigiditatea globală ridicată transmisiei elicoidale cu elemente de rostogolire trebuie să fie preincarcată.

Jocul axial este preluat în interiorul cuplei, prin menținerea în permanență a contactelor dintre corpurile de rostogolire, atât la mersul în gol cat și sub sarcina, prin următoarele **solutii**:

- montarea cu strangere (pretensionare) a bilelor între caile de rulare ale piuliței și surubului : prin prelucrarea caii de rulare a piuliței cu două zone marginale cu pasul p , separate de o zonă cu pasul marit $p + \Delta p$ - fig. 13;

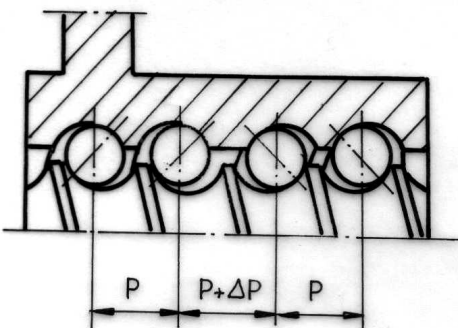


Fig. 13 - Pretensionarea internă

- realizarea cuplei elicoidale cu două piulite pretensionate cu o forță F_p prin:
 - apropierea (impingerea) piulitelor, montaj în "X" - fig. 14, a;
 - departarea piulitelor (folosind inele distanțiere de preîncarcare), montaj în "O" - fig. 14, b.
- Piulitele unice se preîncarcă printr-un dispozitiv axial, la care bilele active se deplasează pe o distanță Δl .

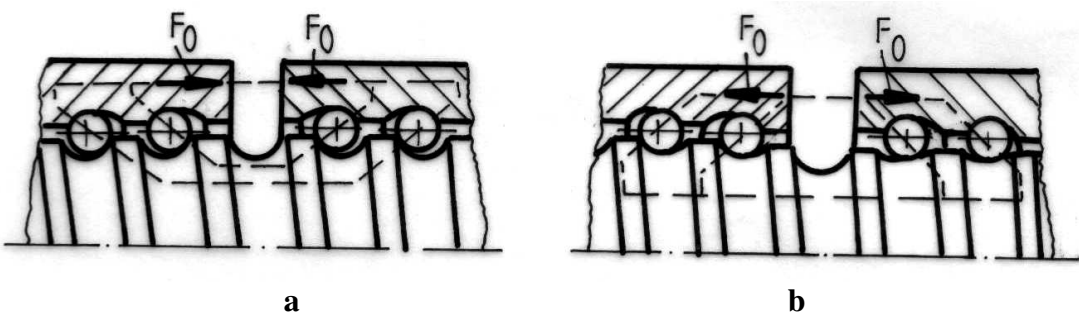


Fig. 14 Sisteme de pretensionare a piulitei transmisiei elicoidale

Reglarea în vederea preluării jocurilor și realizarea unei forțe de pretensionare impuse se face:

- periodic (intermitent): reglarea manuală, la montaj sau de câte ori este necesar, asupra dispozitivului de generare a forței interne de pretensionare - fig. 15, a;
- permanent : reglarea automată, obținerea forței de pretensionare se face prin deformarea unor elemente elastice (arcuri) din componenta subansamblului piulitei - fig. 15, b.

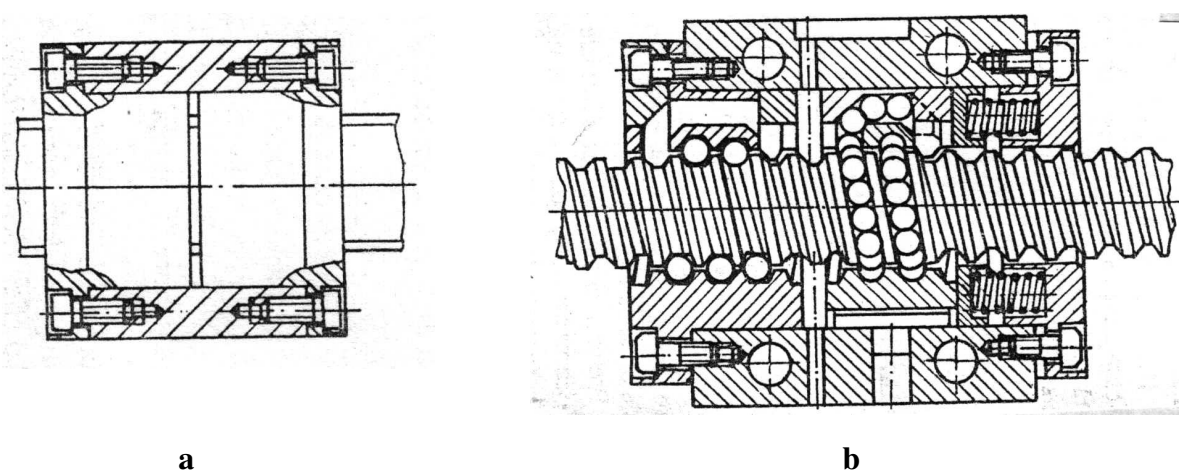


Fig. 15 - Pretensionarea externă a piulitelor transmisiei elicoidale

Pretensionarea asigura doar anularea jocurilor axiale, valoarea forței de preîncarcare a piulitelor fiind mică față de sarcinile exterioare (relațiile 6.); practic pentru calculul piulitei se ia în considerare sarcina exterioară F , fiecare piulita preluând sarcina unuia din sensurile de încarcare.

6.1.9. Sisteme de rezemare a suruburilor transmisiei elicoidale cu rostogolire

Lagarele surubului reprezinta alte elemente importante ale transmisiei elicoidale cu rostogolire, cu functia de a asigura, simultan, pozitia pe directie radiala si de a prelua forta pe directie axiala, cu mentionarea deformatiei si deplasarii surubului in limite admisibile. Astfel, *cerintele principale* ale lagarelor transmisiei surub-piulita cu bile sunt :

- capacitate de incarcare axiala ridicata ;
- rigiditate mare ;
- joc axial redus ;
- frecare mica in rulmenti ;
- turatii ridicate ;
- comportare buna la vibratii.

Aceste criterii individuale au importanta diferita in functie de aplicatia in care se utilizeaza transmisia surub-piulita cu elemente de rostogolire (ex.: rigiditatea lagarelor are rol principal la masinile in care se dezvolta forte mari ; frecarea la lagarele pretensionate constituie criteriul principal pentru masinile cu incarcare redusa si care functioneaza la turatii ridicate).

In cele mai multe aplicatii, lagarele surubului cu bile sunt realizate cu **rulmenti**, iar rezemarea se efectueaza pe doua lagare cu una din *schemele de lagaruire* diferite in functie de incarcare :

- *lagar conducator - lagar liber*: preluarea fortelor axiale se face de catre un lagar, in ambele sensuri (fig. 16, a, b) - pentru sarcini mici;

- *lagaruirea cu reglarea jocului axial*: preluarea fortelor axiale se face de catre fiecare lagar in cate un sens (montaje in "X" sau in "O") - fig. 17, a, b .

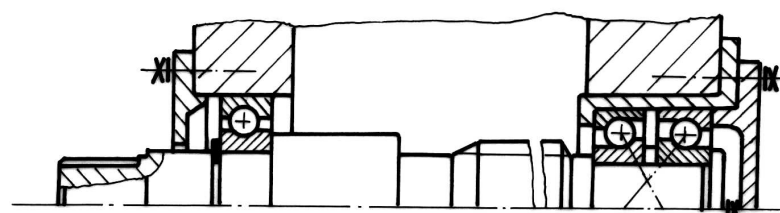
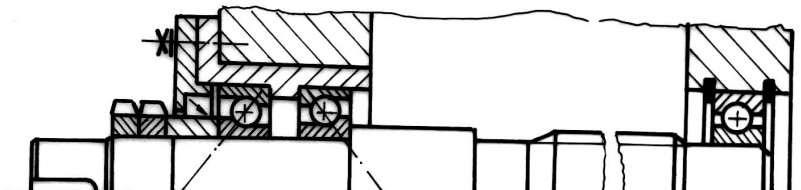
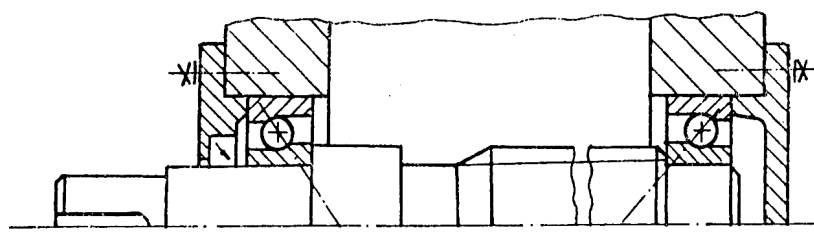
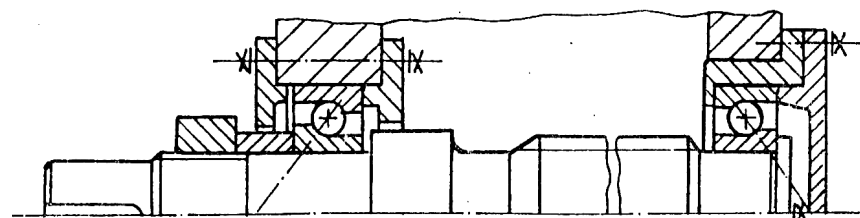


Fig. 16 Scheme de lagaruire cu preluarea fortelor axiale intr-un lagar



a



b

Fig. 17 Scheme de lagaruire cu preluarea fortelor in ambele lagare

Rulmentii utilizati pentru rezemarea surubului transmisiei elicoidale cu rostogolire sunt :

- radial-axiali cu bile;

- radial-axiali cu bile cu contact unghiular: au unghi de presiune mare (60^0) si pot prelua eforturi axiale mari. EI se monteaza de preferat in perechi (grupari in "X", in "O" sau in tandem) sau cu un al doilea rulment care preia eforturile in sens opus (fiecare lucreaza in cate un sens); se utilizeaza pentru realizarea unei rigiditati mari la ambele capete;

- radiali cu role sau cu ace: se folosesc pentru a completa lagarele cu rulmenti axiali cu ace. Inelul special al rulmentilor axiali joaca simultan si rolul de inel exterior al rulmentului cu ace. Latimea inelului interior este ajustata pentru a corespunde inelului exterior cu bucsa-distantier, astfel incat sa fie realizata o preincarcare axiala prin strangere cu o piulita canelata.

Sub actiunea fortelei de pretensionare a rulmentilor din reazemele surubului transmisiei elicoidale cu rostogolire surubul este intins ca rezultat al montajului, iar preincarcarea creste in consecinta.

Suruburile cu bile rigide trebuie sa se proiecteze in asa fel incat sa nu se deplaseze sub actiunea fortelor de lucru sau datorita dilatarii produsa ca rezultat al caldurii degajate prin frecare.

La proiectarea unor lagare rigide ale surubului cu bile trebuie respectate urmatoarele **reguli** :

- rulmentii cu role sau cu ace sunt preferati rulmentilor cu bile (daca este posibil) datorita contactului liniar si deci a rigiditatii mai mari;

- rulmentii axiali trebuie sa fie intotdeauna pretensionati;

- legaturile rigide trebuie sa imbine suprafete separate (stifturi de imbinare rigide);

- se evita utilizarea inelelor distantiere, pentru a micsora numarul de suprafete in contact care reduc rigiditatea;

- suprafetele de contact de la montaj trebuie prelucrate prin rectificare pentru a asigura un raport al suprafetelor de contact mare si rigiditate mare.

6.1.10. Rigiditatea elementelor constructive si a TSPB

La proiectarea unui echipament sau unei instalatii mecanice, trebuie considerata **rigiditatea axiala** a sistemelor de actionare care contin **TSPB** pentru a garanta un grad ridicat de precizie a pozitionarii, cu asigurarea transmiterii si transformarii miscarii cu randament cat mai mare.

Rigiditatea unui element este definita ca raportul intre sarcina aplicata si deformatia elementului respectiv datorata incarcarii.

Aplicarea unei sarcini axiale F_a conduce la aparitia deformatiilor elastice Δl_i pe ariile de contact intre bile si caile de rulare de pe suprafata surubului si piulitei exemplificate in fig. 18, astfel incat rigiditatea poate fi exprimata estimativ, pe baza formulei de compresiune a lui Hertz din Rezistenta materialelor, cu relatia:

$$R_i = \frac{d(F_a)}{d(\Delta l_i)} \quad i = S, P \quad (26)$$

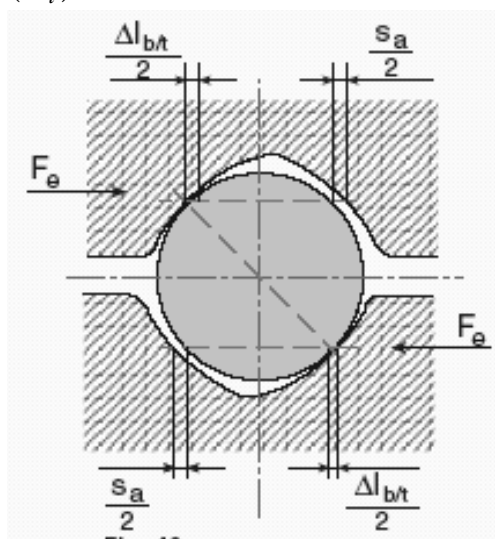


Fig. 18 Jocul axial in TSPB

In continuare, se fac urmatoarele ipoteze de calcul:

- factorul de deformatie a piulitei este constant in toate directiile;
- distributia egala a sarcinii pe bile si caile de rulare;
- nu exista erori de prelucrare;
- unghiurile de contact nu variaza in functie de incarcare;
- nu se iau in considerare deformatiile datorate jocului axial.

Valoarea deformatiei Δl_i depinde in principal de sarcina aplicata, diametrul nominal, numarul si diametrul bilelor incarcate, conformitatea si unghiul de contact.

Piulitele pretensionate nu prezinta deformatii atat de mari ca cele cauzate de sarcini mici asupra piulitelor fara pretensionare, ceea ce asigura o rigiditate mai mare pe ariile de contact intre bile si canalele elicoidale.

In fig. 19, a și b sunt reprezentate curbele de variatie ale deformatiilor elastice Δl_i pentru constructii de **TSPB** cu o singura piulita, respectiv doua piulite pretensionate.

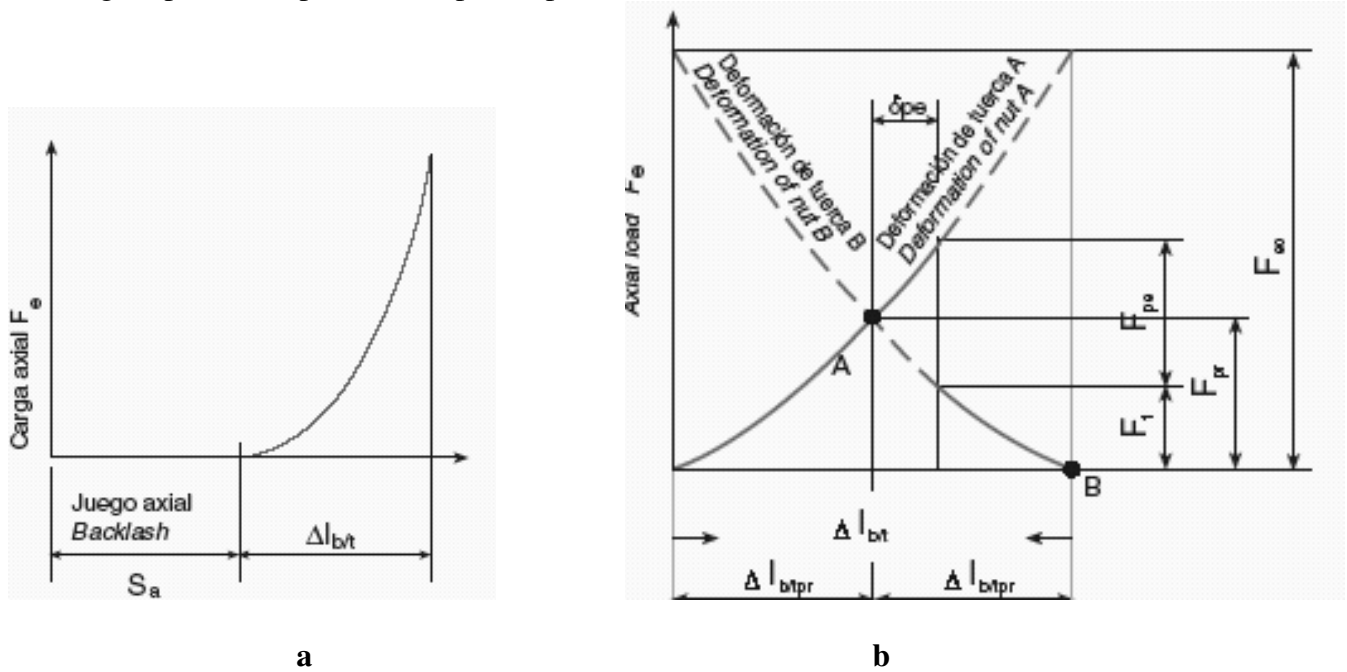


Fig. 19 Variatia deformatiei pe ariile de contact la **TSPB**

Rigiditatea totala a piulitei se determina, tinand seama de abaterile de prelucrare, prin introducerea unui factor de corectie k_R care acopera erorile dimensionale, gradul de finisare a suprafetei si erorile de asamblare a piulitei pe surub cu relativa:

$$\frac{1}{R_P} = \left(\frac{1}{R_i} + \frac{1}{R_{PS}} \right) \cdot \frac{1}{k_R} \quad (27)$$

Rigiditatea transmisiei surub-piulita cu rostogolire. Luand in considerare sistemul de lagaruire al surubului, se defineste *rigiditatea transmisiei elicoidale cu rostogolire*:

$$\frac{1}{R_t} = \frac{1}{R_{S1,2}} + \frac{1}{R_p} \quad (28)$$

in care : R_S - rigiditatea surubului ;

R_p - rigiditatea piulitei.

Pentru suruburile lagaruite la un singur capat rigiditatea este date de relativa:

$$R_{S1} = \frac{F}{\Delta l_S} = \frac{\pi \cdot d_S^2 \cdot E}{4 \cdot L} \quad (29)$$

in care: F - sarcina axiala de lucru;

Δl_s - alungirea surubului la forta axiala F ;

d_s - diametrul interior al surubului ;

E - modulul de elasticitate longitudinal al materialului surubului

L - lungimea surubului.

Pentru suruburile lagaruite la ambele capete rigiditatea este calculata cu relatia :

$$R_{S2} = 4 \cdot R_{S1} \quad (30)$$

Rigiditatea piulitei se compune din rigiditatea de contact si rigiditatea elementelor componente conform relatiei :

$$\frac{1}{R_p} = \frac{1}{R} + \frac{1}{R_c} \quad (31)$$

Pentru simplificarea calculelor se recomanda: $R_p=0.6 \cdot R$ (rigiditatea R este determinata in cataloge).

6.1.11. Caracteristici constructive si functionale specifice TSPB

La transmisiiile elicoidale cu rostogolire apar o serie de particularitati constructive si functionale cum sunt: sistemele de recirculare a bilelor, ungerea si sistemele de etansare, randamentul, durabilitatea si capacitatea dinamica de baza.

a) Particularitati constructive

Sistemele de recirculare a bilelor sunt necesare in constructia cuplei elicoidale deoarece bilele care se rostogolesc in canalele din surub si piulita trebuie sa formeze un circuit inchis, fiind introduse in permanenta in zona de lucru. In general se utilizeaza dioua variante de sisteme de recirculare :

- in interiorul piulitei : urmareste scoaterea bilelor din zona contactului prin diferite piese specifice, astfel incat piulita seamana cu un pachet de 3 - 6 rulmenti alaturati ; are avantajul ca blocarea unui "rulment"-circuit nu influenteaza functionarea piulitei ;

- in exteriorul piulitei : recircularea bilelor se realizeaza prin: teava, perete sau pene speciale prevazute in exteriorul piulitei, ceea ce face ca piulita sa semene cu un rulment masiv cu 3 - 6 randuri de bile ; are dezavantajul ca cea mai mica potrivire poate duce la blocarea definitiva a piulitei pe filetul surubului. Aceasta metoda este utilizata pentru obtinerea unui gabarit redus (lungimea piulitei este cu 50% mai mica decat la prima varianta).

Pentru **ungerea** cuplelor elicoidale se recomanda :

- uleiuri cu vascozitate ridicata : la viteze mici, sarcini mari si/sau temperaturi ridicate ;

- uleiuri cu vascozitate scaduta : cand functionarea se face la temperaturi scadute si nu apar variatii mari de temperatura.

Pentru protectia cailor de rulare si a corpurilor de rostogolire impotriva patrunderii impuritatilor se folosesc **sisteme de etansare** - cu garnitura (fig. 20, a), cu perie (fig. 20, b) - sau **sisteme de etansare si protectie** - telescopic sau cu burduf (fig. 20, c).

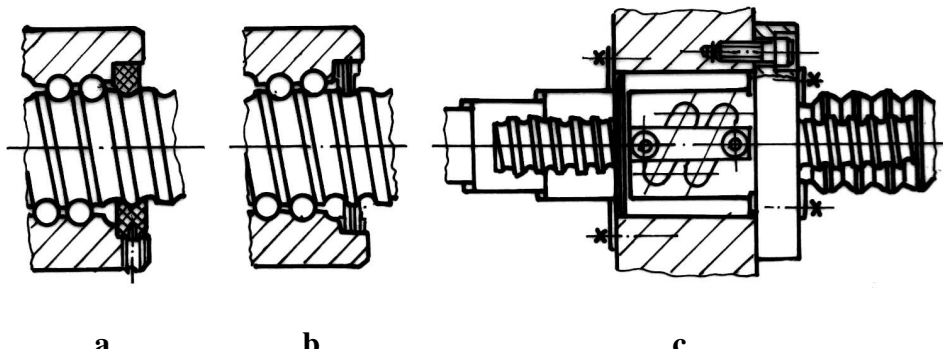


Fig. 20 Sisteme de etansare si protectie a cuplei elicoidale

b) Particularitatile functionale ale TSPB

- **Flambajul** reprezinta ruperea ansamblului surub cu bile la aplicarea unei sarcini axiale mai mica decat capacitatea statica de baza C_0 .

Sarcina axiala de compresiune pe care o poate suporta este o functie de diametrul surubului, lungimea si modul de rezemare (fig. 16) si se poate calcula cu relatia:

$$F_{cf} = F \cdot f_c \cdot c_{af} \quad (32)$$

in care: F_{cf} - forta critica (admisibila) de flambaj;

f_c - factor de corectie functie de tipul de fixare;

c_{af} - coeficient admisibil de siguranta la flambaj (cu valori intre 0.5 si max. 0.8).

Forța critica de flambaj se determină cu relația lui Euler:

$$F_{cf} = \frac{\pi^2 \cdot E \cdot I_{\min}}{L^2} \quad (33)$$

unde: E - modulul de elasticitate longitudinal al materialului surubului; I_{\min} - momentul de inertie minim al secțiunii transversale a surubului cu bile, dat de:

$$I_{\min} = \frac{\pi \cdot d_2^2}{64} \quad (34)$$

si L - lungimea de flambaj.

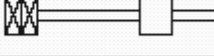
Tip de montaj	<i>fc</i>
	0,25
	1
	2
 L F_k	4

Fig. 21 Factorul de corectie pentru flambajul surubului cu bile

• Turatia critica si turatia maxima

Pentru functionarea corecta a TSPB se recomanda utilizarea la o turatie cat mai departata de frecvențele proprii de vibratie, astfel incat sa fie evitata rezonanta arborelui filetat cu bile si sa nu existe nici un dezechilibru sau defectare legata de aceasta.

Turatia critica n_{cr} depinde de diametrul surubului, lungimea dintre lagare si tipul rezemarii fig. 22.

Turatia maxima admisa se calculeaza cu relatia:

$$n_{\max} = n_{cr} \cdot f_{cr} \cdot c_{af} \quad (35)$$

in care: f_{cr} - coeficient de corectie functie de tipul de rezemare a surubului, fig. 23.

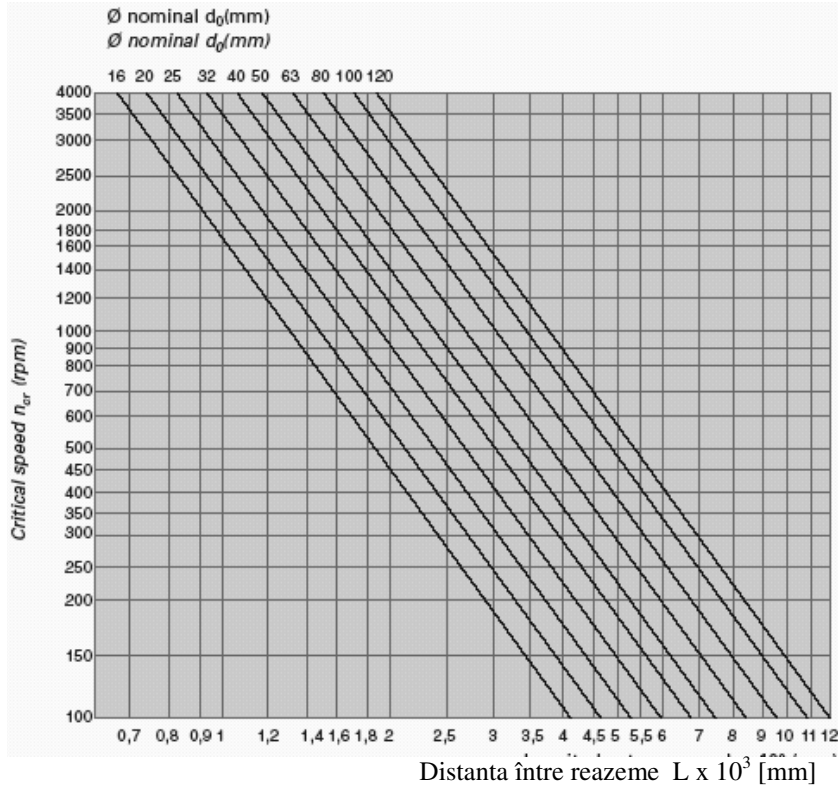


Fig. 22 Turația critică a TSPB

Type of mounting	K1	λ	fcr
	40	1,9	0,35
	120	π	1
	180	3,95	1,45
	270	4,75	2,25

Fig. 23 Factorul de corectie pentru turatia maxima

- **Capacitatea statică de baza** C_0 reprezinta sarcina axiala maxima care, aplicata intregului sistem surub-piulita cu bile, determina o deformatie permanenta de $10^{-4} \cdot D_W$ intre bila si caile de rulare.

- **Capacitatea dinamica de baza** C este forta axiala, de valoare si directie constante, care actionand asupra unui lot de TSPB, aparent identice, o poate suporta pentru o durabilitate de 10^6 rotatii.

Deoarece atat capacitate statica cat si cea dinamica de baza sunt date pentru conditii concrete de functionare, se introduc valori modificate ale celor doua marimi prin relatiile:

$$C_{0M} = C_0 \cdot f_{H0} \cdot f_{ap} \quad (36)$$

$$C_M = C \cdot f_H \cdot f_m \cdot f_{ap}$$

in care: f_{H0}, f_H - factori de duritate corespunzatori variației duratăii suprafetelor elicoidale din TSPB ca în fig. 24; f_{ap} - factor de prelucrare (functie de abaterile introduse) cu valori date pentru trei clase de toleranțe în tabelul 1; f_m - factor de material care ia în considerare tipul procesului de topire a otelului ca în tabelul 2.

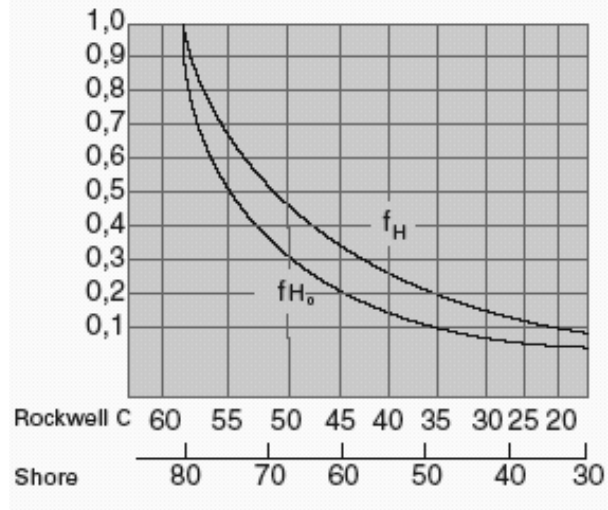


Fig. 24 Coeficientul de corecție funcție de duritate

Tabelul 1

Clasa de toleranta	1 - 5	7	10
f_{ap}	1	0.9	0.7

Tabelul 2

Material surub cu bile	f_m
Otel turnat obisnuit	1
Otel turnat cu in vacuum	1.25
Otel retopit	1.44
Otel dublu retopit	1.71

Daca turatia de lucru este mai mica decat 10 rot/min surubul cu bile trebuie ales astfel incat C_0 sa fie mult mai mare decat incarcarea maxima aplicata F_{max} . Astfel coeficientul de sigurata static definit ca:

$$c_s = \frac{C_{0M}}{F_{max}} \quad (37)$$

are valori uzuale dupa cum urmeaza:

- pentru functionare normala $c_s = 1 \dots 2$;
- pentru functionare cu socuri sau vibratii $c_s = 2 \dots 3$;
- pentru conditii de functionare severe $c_s > 3$.

• Durabilitatea

Pentru determinarea probabilitatii de supravietuire (durabilitatii) a unei **TSPB** se considera conditiile de oboseala rezultate din tensiunea la care sunt supuse elementele constructive, orice deteriorare cauzata de uzare asupra bilelor si canalelor elicoidale, impreuna cu scaderea ulterioara a preciziei. Uzura si defectarea transmisiei sunt puternic influente de conditiile de functionare, ungerea, intretinerea,

Durabilitatea nominala $L \cdot L_h$ este definita ca numarul de rotatii (sau ore de functionare la un numar constant de rotatii) care se ating pentru 90% sau mai mult dintr-un lot de **TSPB** identice pana la observarea primelor semne de oboseala care se dezvolta in materialul unuia dintre elementele constructive. Relatia de calcul este similara cu cea de la rulmentii cu bile si are urmatoarea forma:

$$L = \left(\frac{C_M}{F_e} \right)^3 \cdot 10^6 \quad [rotatii] \quad (38)$$

in care: F_e - sarcina dinamica echivalenta, exprimata in [N] data de:

$$F_e = F \frac{f_d}{f_H} \quad (39)$$

cu: f_d - coeficient dinamic ales in functie de regimul de functionare din tabelul 3.

Tabelul 3

Regimul de functionare	f_d
Turatie mica, sarcina fara socuri	1 - 1.2
Conditii normale	1.2 - 1.5
Turatii obisnuite, sarcina cu socuri	1.5 - 2.5

O piulita pretensionata simetric reprezinta un sistem in care un acelasi numar de canale elicoidale din fiecare jumatare de piulita sunt solicitate una catre cealalta. Sarcina axiala dinamica echivalenta preluata de cele doua piulite F_{e1} si F_{e2} depinde de forta de pretensionare F_p si sarcina dinamica echivalenta F_e .

6.1.12. Domenii de utilizare

In aplicatiile practice se utilizeaza *suruburi cu bile cu o singura piulita* pentru cresterea randamentului in transmiterea miscarii si *suruburi cu bile pretensionate formate din doua piulite* pentru transmiterea unor miscari de mare precizie si rigiditate sporita.

Domeniile de utilizare a transmisiilor cu surub cu bile sunt: industria constructoare de masini-unelte (in componenta mecanismului de avans mecanic), agregate din compunerea liniilor automate, masini-unelte cu comanda numerica, mecanica fina, transmisii de precizie, roboti industriali, industria de avioane (deschiderea trenului de aterizare), industria aerospatiala, reactoare nucleare, autovehicule rutiere, autocamioane si tractoare (in componenta mecanismului de directie), constructia motoarelor liniare, echipamente medicale si accesorii din cadrul spitalelor (mese de operatii, scaunele pentru persoanele cu handicap), echipamente periferice (in componenta imprimantelor cu rol de a deplasa capul de scriere in lungul paginii).

◆ Industria constructoare de masini :

- Masini unelte cu comanda numerica (CNC): - centre de prelucrare, strunguri, masini de rectificat;
- Mecanica fina : - transmisii de precizie;
- Masini de tiparit;
- Masini de impachetat;
- Masini pentru obtinerea de mase plastice;
- Roboti industriali;
- Echipamente de ridicare;
- Mese X-Y;
- Prese;

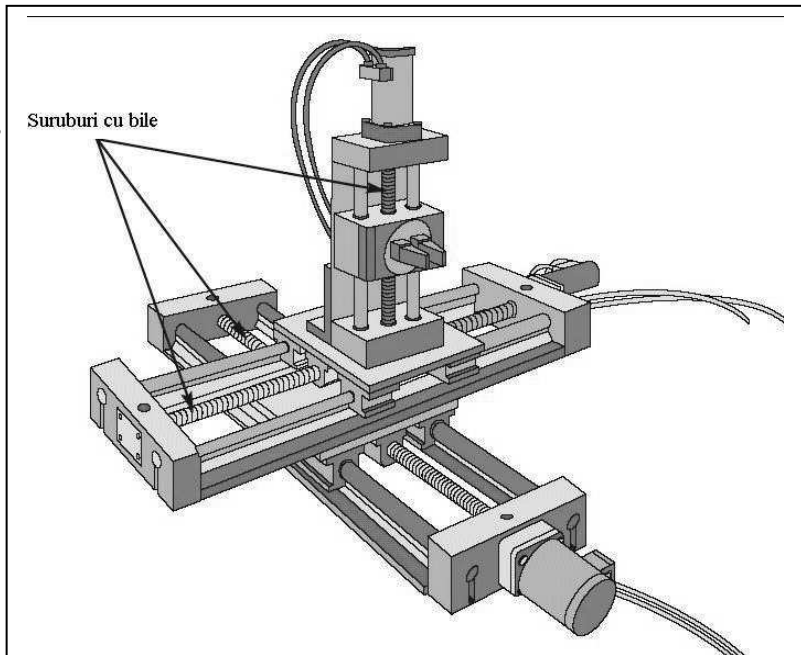


Fig. 20 TSPB din componenta masinilor-unelte si roboti industriali

— Masini unelte : - mecanismul de avans mecanic

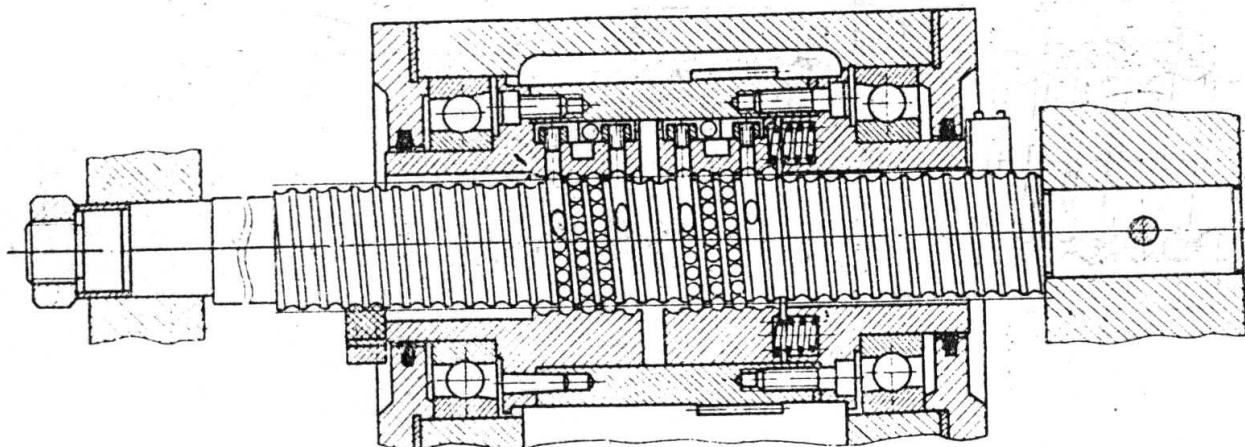


Fig. 21 TSPB cu două piulite
(cap de frezat la o masina-unealta cu comanda program)

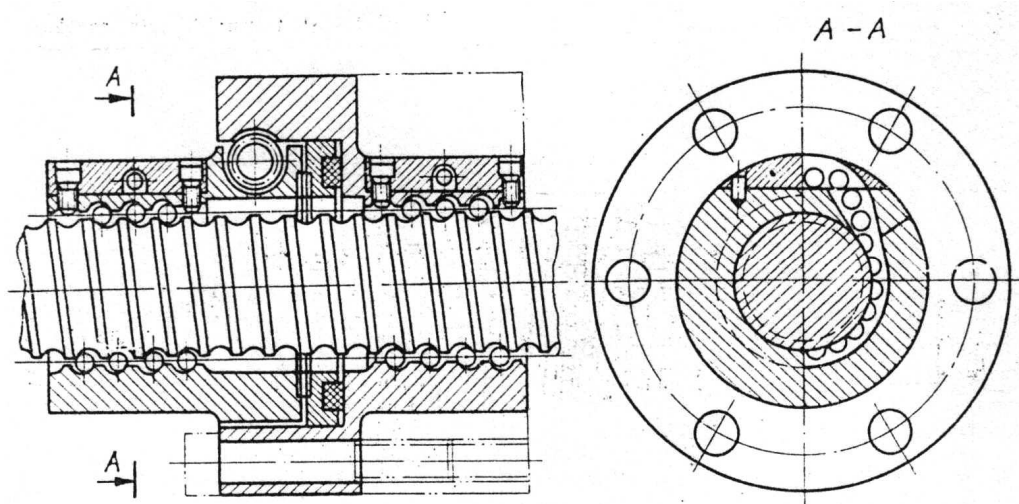


Fig. 22 TSPB cu două piulite cu acțiune unilaterală de franare
(avansul vertical la o masină de frezat cu comandă program)

◆ Industria metalurgica

◆ Industria Auto

- mecanismul de directie → autovehicule rutiere;
→ autocamioane;
→ tractoare.

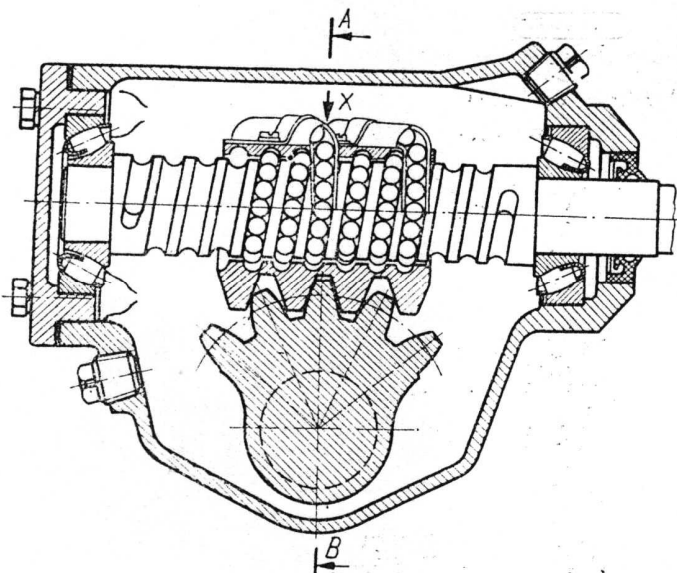


Fig. 23 TSPB din componenta mecanismului de directie

- motoare liniare

◆ **Industria nucleara**

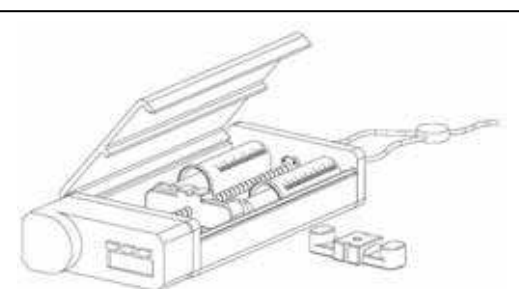
◆ **Industria alimentara**

◆ **Industria farmaceutica**

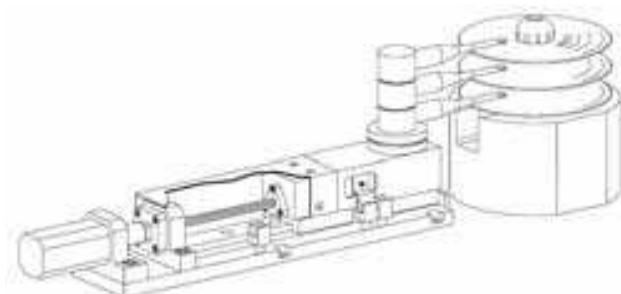
◆ **Echipamente si accesorii**

• *medicale*

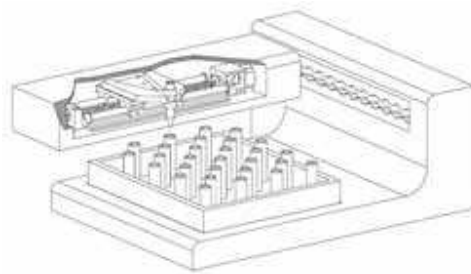
- roboti medicali;
- paturi de spital;
- mese de operatii;
- scaune pentru persoane cu handicap



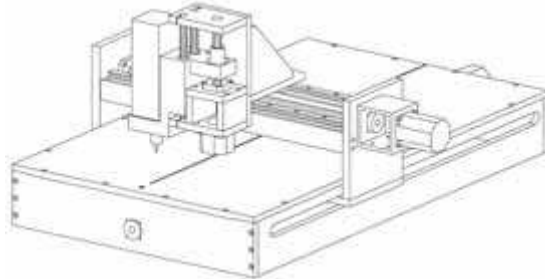
• *de fabricare a semiconducitorilor*



• *de laborator*



• *pentru gravat*



- *periferice* : - imprimante (deplasarea capului de scriere în lungul paginii);
- copiatoare

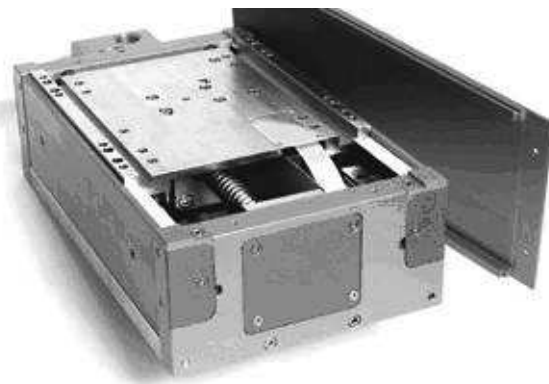
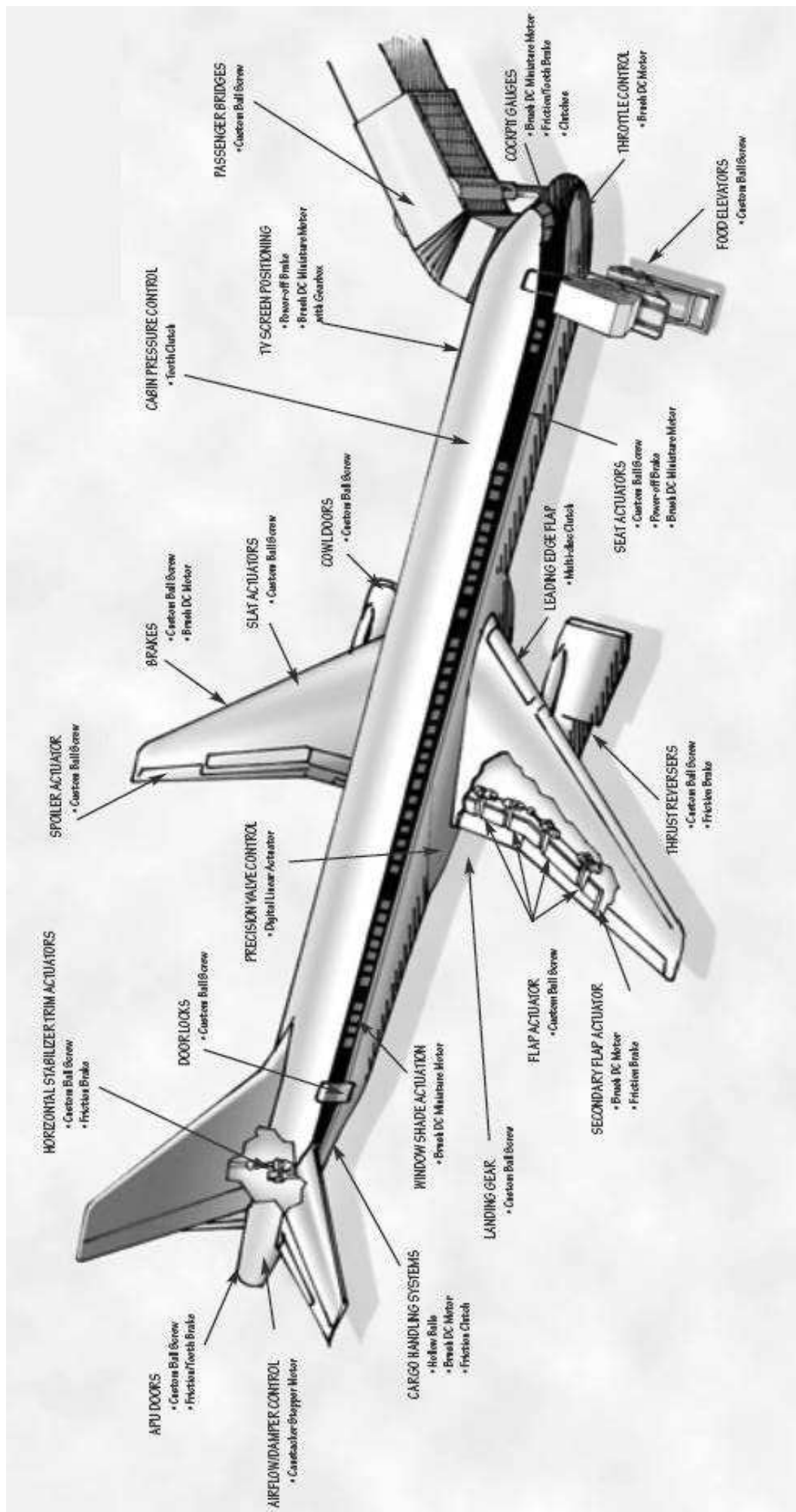


Fig. 24 TSPB din componența echipamentelor

◆ Industria Aerospaciala: deschiderea trenului de aterizare;



6.1. Elemente constructive ale sistemelor de transmitere cu cremalieră

Din categoria sistemelor de transmitere mecanice pentru transformarea directă a mișcării de rotație în translație face parte și sistemul de transmitere cu cremalieră STC, care înlocuiește transmisia cu șurub de mișcare în cazul când: lungimea acestuia este mare (pericol de flambare), apare deformarea sub acțiunea sarcinii axiale și a greutății proprii pentru curse de lucru mari, frecvența de rotație a șurubului se regăsește printre frecvențele proprii (rezonanța mecanică).

6.1.1. Generalități. Clasificare

Având drept criteriu de clasificare poziția axelor de rotație care determină forma suprafețelor de rostogolire și definirea raportului de transmitere între elementul conducător 1 și elementul condus 2 cu relația:

$$i_{12} = \frac{\omega_1}{\omega_2} = \frac{\sin \delta_2}{\sin \delta_1} = \frac{r_2 \cos \delta_2}{r_1 \cos \delta_1} \quad (6.94)$$

prin utilizarea relațiilor de definire a unghiurilor δ_1 și δ_2 , respectiv a razelor r_1 și r_2 :

$$\operatorname{tg} \delta_1 = \frac{\sin \Sigma}{i_{12} + \cos \Sigma} \quad (a)$$

$$\operatorname{tg} \delta_2 = \frac{i_{12} \sin \Sigma}{1 + i_{12} \cos \Sigma} \quad (b)$$

$$r_1 = a \frac{1 + i_{12} \cos \Sigma}{1 + i_{12}^2 + 2 \cdot i_{12} \cos \Sigma} \quad (c)$$

$$r_2 = -a \frac{i_{12}(i_{12} + \cos \Sigma)}{1 + i_{12}^2 + 2 \cdot i_{12} \cos \Sigma} \quad (d)$$

se constată că există două situații:

- când $\omega_1 = 0$ (elementul 1 are mișcare de translație) rezultă:

- raportul de transmitere $i_{12} = 0$,
- $\delta_1 = \Sigma$, $r_1 = a = \infty$ deci axa instantanea descrie, în raport cu elementul 1, o suprafață de rostogolire plană,
- $\delta_2 = 0$, deci roata 2 are suprafață de rostogolire cilindrică.

Dacă $\Sigma \neq 0$ și $\Sigma \neq \pi$ atunci **transmisia cu cremalieră** este **spațială** (cele două elemente constructive se deplasează paralel în plane diferite) – fig. 6.47, a.

Dacă $\Sigma = 0$ sau $\Sigma = \pi$ transmisia este **plană** - fig. 6.47, b.

- când $\omega_2 = 0$ (elementul condus 2 are mișcare de translație), rezultă $i_{12} = \infty$ se obțin transmisii cu cremalieră similare situate în planul (i_{12}, Σ) pe dreapta $i_{12} = \infty$.

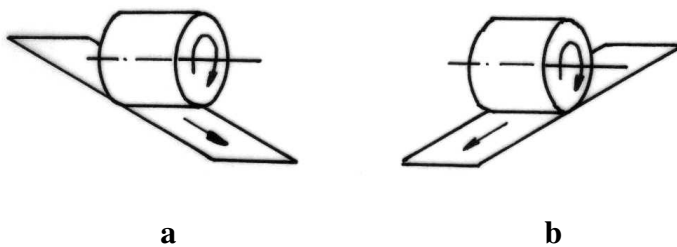
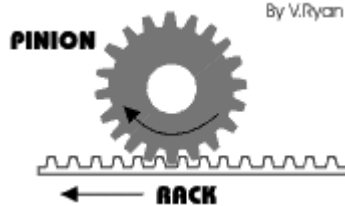


Fig. 6.47 Tipuri de sisteme de transmitere cu cremalieră

Cele mai utilizate tipuri constructive sunt sistemele de transmitere **pinion-cremalieră** și **melc-cremalieră**.

6.1.2. Sistemul de transmitere pinion-cremalieră



Utilizarea acestui tip de transmisie mecanică (*Rack and pinion system*) în structurile mecatronice, care funcționează cu randament bun, de aproximativ 90%, este corespunzătoare în următoarele situații:

- mișcări fără condiții deosebite de precizie și uniformitate;
- forțe mici;
- viteze mari;
- curse de lucru mai mari de 4 m;
- fără cerințe de autofrânare.

Domeniile de utilizare sunt limitate de dificultățile de a obține economic o cremalieră suficient de precisă.

Elementele constructive ale transmisiei reprezentată schematic în fig. 5 sunt: *pinionul 1* - cu mișcare de rotație și *cremaliera 2* - care materializează cremaliera de referință cu ajutorul căreia se definește profilul danturii (dreaptă sau înclinată) roții dințate cu care angrenează (pinionul) - cu mișcare de translație

Sistemele de transmitere pinion-cremalieră **STPC** se utilizează pentru:

- transformarea mișcării de rotație în mișcare de translație – când pinionul este elementul conducerător;
- transformarea mișcării de translație în rotație – când cremaliera este conducerătoare.

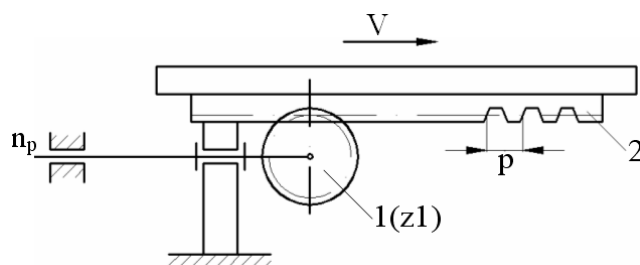


Fig. 6.48 Transmisia pinion-cremalieră

Calculul geometric și cinematic al STPC se realizează utilizând relațiile stabilite pentru transmisia cu roți dințate cilindrice, cu următoarele *particularități*:

- Datorită transformării mișcării, din punct de vedere cinematic transmisia pinion-cremalieră nu este caracterizată prin raport de transmitere, ci de *raportul de transfer*, care reprezintă legătura dintre turația pinionului n_1 și viteza v_2 de deplasare a cremalierei, pornind de la egalitatea vitezelor celor două elemente constructive:

$$v = v_2 = v_1 = \pi \cdot d_1 \cdot n_1 = \pi \cdot m \cdot z_1 \cdot n_1 = p \cdot z_1 \cdot n_1 \quad [\text{mm/min}] \quad (6.95)$$

în care: d_1 - diametrul de divizare al pinionului;

m - modulul danturii;

z_1 - numărul de dinți ai pinionului;

p - pasul danturii.

Din relația anterioară se definește *raportul de transfer*:

$$i_{12} = \frac{n_1}{v_2} \quad [\text{rot/mm}] \quad (6.96)$$

- *Deplasarea de profil* se aplică numai pinionului, coeficientul deplasării de profil fiind dat de relația:

$$x_1 = \frac{a_w - a}{m} \quad (6.97)$$

în care: a_w - distanța nominală (standardizată) dintre axe – care se poate calcula cu relația:

$$a_w = r_{w1} + \delta \cdot m = r_1 + x_1 \cdot m + \delta \cdot m = m \cdot \left(\frac{z_1}{2} + x_1 + \delta \right) \quad (6.98)$$

iar a - distanță de referință dintre axe dată de:

$$a = r_1 + \delta \cdot m = m \cdot \left(\frac{z_1}{2} + \delta \right) \quad (6.99)$$

unde: δ este coeficientul bazei de aşezare a cremalierii.

- *Unghiul de angrenare* este întotdeauna $\alpha_w = \alpha_0$, indiferent de mărimea și sensul deplasării de profil, deoarece linia de angrenare este normală comună la profilele dinților și deci este perpendiculară pe flancurile cremalierii.
- Fenomenul de *interferență* (*subtăiere sau ascuțire*) a **dinților** apare numai la pinion, cu aceleași efecte ca la transmisiile cu roți dințate cilindrice.
- *Gradul de acoperire* se determină ca în fig. 6.49 cu relația:

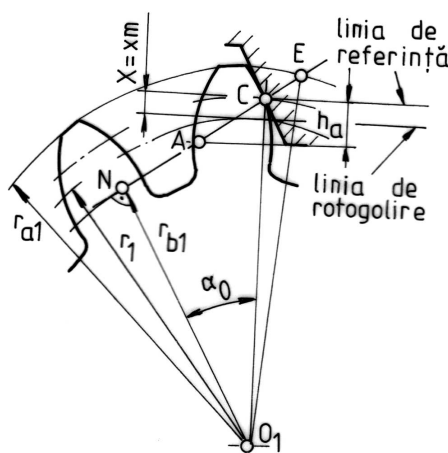


Fig. 6.49 Elementele geometrice ale STPC

$$\varepsilon = \frac{\sqrt{r_{a1}^2 - r_{b1}^2} - r \cdot \sin \alpha_0 + m \cdot \frac{h_{0a}^* - x_1}{\sin \alpha_0}}{\pi \cdot m \cdot \cos \alpha_0} > 1,2 \quad (6.100)$$

în care: α_0 - unghiul profilului de referință al dintelui.

Observație: la deplasări pozitive, ε scade sensibil.

Modul de realizare a angrenării dinților elementelor constructive ale STPC, pe segmentul de angrenare, este reprezentat în fig. 6.50.

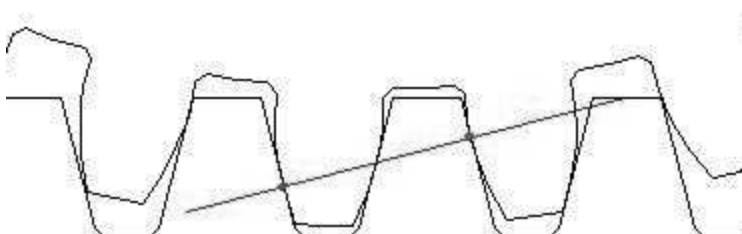


Fig. 6.50 Realizarea angrenării la STPC

- *Viteza de translație a cremalieriei* este constantă $v_2 = \omega_1 \cdot r_1$, oricare ar fi mărimea deplasării de profil.
- *Vitezele de rostagolire* pentru punctul de contact C , considerat pe fiecare din cele două elemente constructive, sunt diferite:

$$- \text{pentru pinion: } u_1 = \omega_1 \cdot (r_1 \cdot \sin \alpha_0 + l) \quad (6.101)$$

$$- \text{pentru cremalieră: } u_2 = \omega_1 \cdot r_1 \cdot \sin \alpha_0 \quad (6.102)$$

- Viteza de alunecare între flancuri apare datorită diferenței celor două viteze de rostogolire:

$$v_{al} = u_1 - u_2 = \omega_l \cdot l \quad (6.103)$$

unde l reprezintă distanța, măsurată în lungul segmentului de angrenare, de la polul angrenării la punctul de contact; convențional se consideră *negativă* când punctul se află pe segmentul de intrare în angrenare \overline{AC} și *pozitivă* pe segmentul de ieșire din angrenare \overline{CE} .

Tipurile constructive de STPC (fig.6.51) se deosebesc prin:

- modul de plasare a danturii pe cremalieră:
 - pe o singură față (a);
 - pe ambele fețe (b);
- forma exteroioră a suprafetei cremalierei:
 - plană (a);
 - cilindrică (b);
- lungimea pinionului:
 - scurt (a);
 - lung (b);

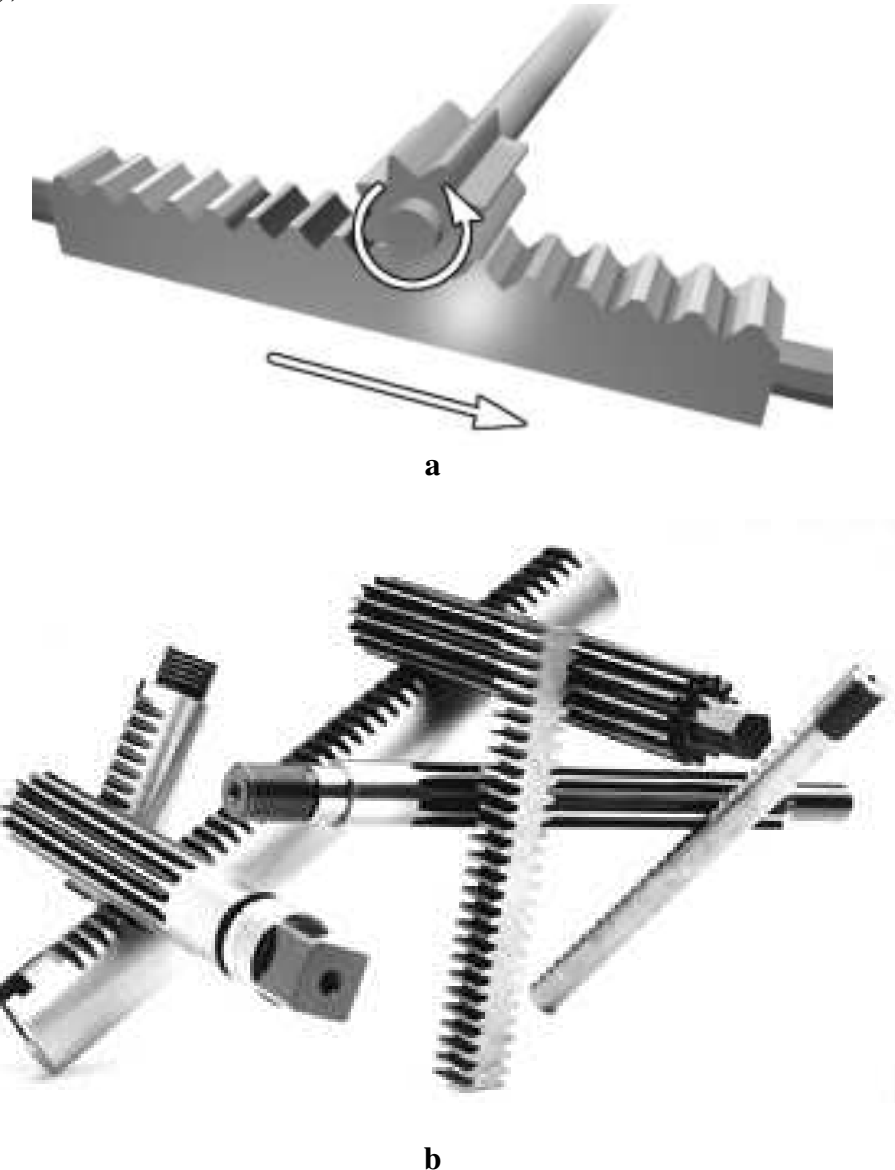


Fig. 6.51 Tipuri constructive de STPC

Calculul de rezistență al elementelor constructive ale transmisiei pinion-cremalieră constă în dimensionarea danturii din condiția de rezistență la solicitarea de contact a dinților cu relația tensiunii hertziene de la angrenajele cilindrice cu dantura dreaptă, respectiv înclinată:

$$\sigma_H = \sqrt{\frac{2}{\pi}} \cdot \sqrt{\frac{F_{t1} \cdot E'}{b \cdot d_1 \cdot \sin 2\alpha_0}} \leq \sigma_{Ha} \quad (6.104)$$

în care: F_{t1} - forță tangențială care acționează asupra pinionului, determinată în funcție de momentul de torsiune T_I transmis, cu relația:

$$F_{t1} = \frac{2 \cdot T_I}{d_1} \quad (6.105)$$

unde: b - lățimea danturii pinionului - exprimată prin:

$$b = \psi_d \cdot d_1 \quad (6.106)$$

coeficientul de lățime ψ_d fiind adoptat în funcție de condițiile de funcționare ale transmisiei pinion-cremalieră;

E' - modulul de elasticitate echivalent al materialelor pinionului și cremalierei;

σ_{Ha} - tensiunea admisibilă de contact, stabilită funcție de condițiile de funcționare, clasa de precizie, duritatea flancurilor și rugozitatea suprafețelor în contact.

Înlocuind ultimele două expresii în relația (6.104), se determină diametrul de divizare d_1 al pinionului, stabilind valoarea modulului danturii m ($m = d_1 / z_1$; z_1 - numărul de dinți ai pinionului), care se rotunjeste la o valoare superioară standardizată.

Transformarea inversă a mișcării, din translația cremalierei în rotația pinionului, se folosește la măsurari directe ale deplasărilor, când forțele transmise și deformațiile dintre dinți sunt neglijabile, elementele constructive (pinionul și cremaliera) fiind foarte precise și fără joc în angrenare.

Rigiditatea totală a transmisiei pinion-cremalieră este independentă de cursa de lucru și este determinată de rigiditatea torsională a arborelui pinionului și de cuplul pinion-cremaliera dințată. Construcția întregului lanț cinematic trebuie să fie rigidă din punct de vedere torsional și fără jocuri, acestea eliminându-se prin pretensionare.

6.1.3. Sistemul de transmitere melc-cremalieră

Acest tip constructiv de transmisie danturată se utilizează frecvent în locul transmisiei pinion-cremalieră pentru curse de lucru și încărcări exterioare mari. Sistemul de transmitere melc-cremalieră STMC are avantajul unui mers mai liniștit și uniform, fără zgomet și vibrații, deoarece în angrenare se află simultan mai multe perechi de dinți, permit obținerea unei reducții puternice și o precizie a deplasărilor mai mare. Dezavantajul transmisiei melc-cremalieră este randamentul mai scăzut (max. 0,8).

Elementele constructive ale transmisiei reprezentată în fig. 9 sunt: *melcul 1* cu mișcare de rotație și *cremaliera 2* cu mișcare de translație cu viteza v .

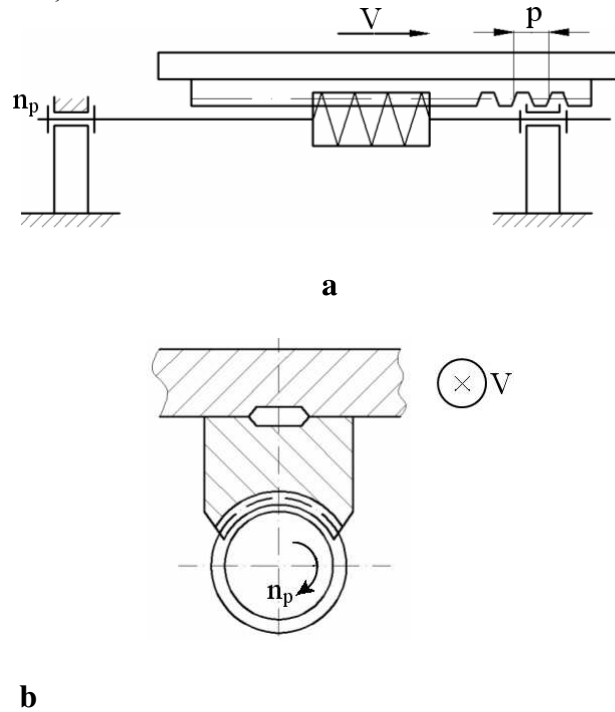


Fig. 6.52 Transmisii melc-cremalieră

Melcul poate fi cu unul sau mai multe începuturi, după cum viteza cremalierei trebuie să fie mai mică sau mai mare. De obicei, în construcțiile industriale melcul se montează pe partea fixă, iar cremaliera pe partea mobilă (masa) a ansamblului.

Materialele utilizate pentru elementele transmisiei: melcul se execută din oțel cu rezistență ridicată, obținută prin tratament termochimic de cementare sau nitrurare, iar cremaliera din materiale antifricțiune (bronz sau fontă) și realizată în construcție normală sau melcată (fig. 9, a, respectiv b).

Calculul cinematic este similar cu cel al transmisiei pinion-cremalieră cu deosebirea că în locul numărului de dinți z_1 se utilizează numărul de începuturi ale melcului.

Dimensionarea și verificarea de rezistență se efectuează identic cu transmisia melcată clasică.

6.1.4. Aplicații ale sistemelor de transmitere cu cremalieră

Un bun exemplu de utilizare a sistemului pinion-cremalieră este reprezentat în fig. 6.53 la trenurile proiectate să se deplaseze pe pante abrupte. Roțile trenului sunt din oțel și nu au cum să apase pe oțelul sinei de cale ferată. Obișnuit, greutatea trenului este suficientă pentru a permite deplasarea în siguranță și cu viteză de-a lungul liniei. Pe de altă parte, dacă trenul trebuie să urce un deal abrupt este foarte probabil să alunecă înapoi. Din aceste motive s-a adăugat un sistem pinion-cremalieră: roata dințată mare situată în centrul trenului, iar liniei ferate I se atașează o cale suplimentară dințată (cremaliera).

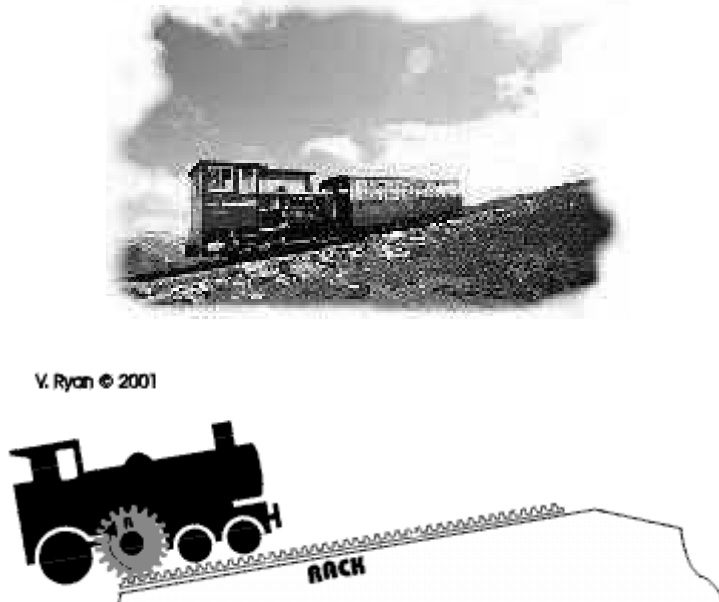
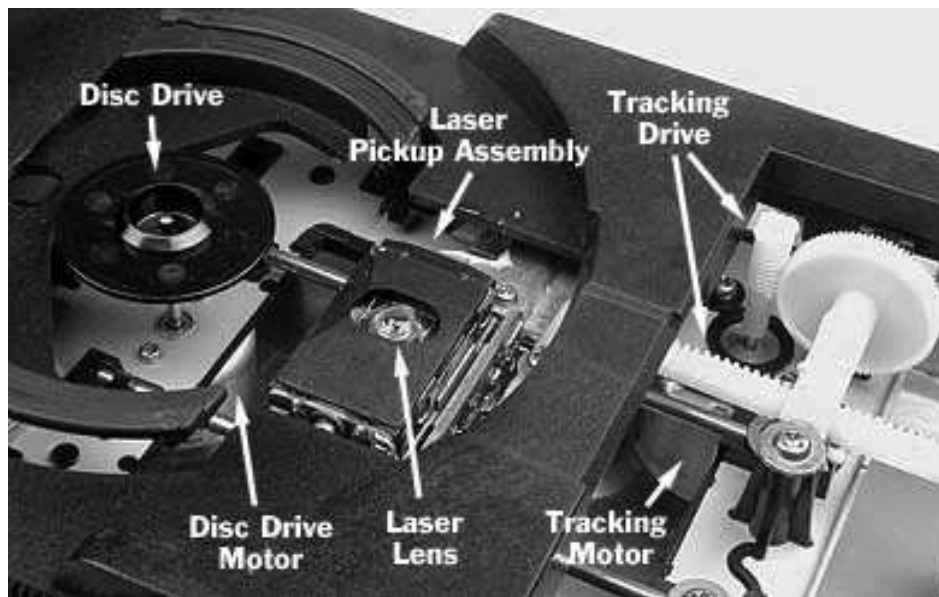


Fig. 6.53 Utilizarea STPC la trenuri

Între componentele unui CD Player este și o transmisie pinion-cremalieră care are rolul de a deplasa ansamblul laser astfel încât raza laser să poată urmări traекторia spirală, de aceea STPC trebuie să permită această deplasare cu rezoluție de microni.



CD player-ul are rolul de a găsi și citi datele stocate ca bumps pe CD. Având în vedere cât sunt de mici denivelările, CD player-ul este un echipament extrem de precis. Dispozitivul are trei componente principale:

- motor de acționare care rotește discul la turație precis controlată între 200 și 500 rpm în funcție de ce pistă este citită;
- un laser și sistem de lentile de focalizare care citește denivelările;
- un sistem de transmisie care are rolul de a deplasa ansamblul laser astfel încât raza laser să poată urmări traectoria spirală.